

Vysoká škola strojní a textilní LIBEREC  
nositelka řádu práce

Pakulta strojní  
číslo 04 - 1 - 04  
Výrobní stroje a zařízení  
saměření  
Sklářské a keramické stroje  
Katedra sklářství a keramiky

KARUSELOVÝ LIS

Milan Šourek  
DP 352/80

Vedeucí práce : s. Ing. Jaroslav Belda, CSc - VŠST Liberec  
Konzultant : s. Ing. Antonín Havelka - VŠST Liberec  
s. Ing. Miroslav Bauer - kp. JS Desná

Rozsah práce :

Počet stran 56

Počet příloh 5

Počet obrázků 26

DT:666.1.035.2:666.274.4

Datum : 23.5.1980

Vysoká škola: strojní a textilní

Katedra: sklář. a keram. strojů

Fakulta: strojní

Školní rok: 1979/80

## DIPLOMOVÝ ÚKOL

pro Milana Šourka

obor 23-34-8 Výrobní stroje a zařízení

Zaměření: sklářské a keramické stroje

Protože jste splnil požadavky učebního plánu, zadává Vám vedoucí katedry ve smyslu směrnic ministerstva školství a kultury o státních závěrečných zkouškách tento diplomový úkol:

Název tématu: Karuselový lis

### Pokyny pro vypracování:

V průmyslu jablonecké bižuterie se pro výrobu větších výlisků lustrových ověsů, celobroušených nebo smirkových používá karuselových lisů. Lisování se provádí z jednotlivých dávek skloviny v lisovacím mechanismu, tzv. klapačce. Lisovací mechanismus musí umožnit otevření forem, při plnění, dovršení těsně nad sklovinu a vlastní lisování.

Úkolem Vaší diplomové práce je rekonstrukce stávající klapačky, která tyto funkce neplní zcela optimálně. Při řešení využijte stávající rám lisu.

Proveďte:

1. Rozbor stávajícího mechanismu klapačky
2. Návrh nové klapačky, tak aby vyhovoval optimálním požadavkům tvarovacího procesu
3. Konstrukčně návrh zpracujte formou sestavných výkresů.

Autorské právo se řídí směrnicí

MSK pro státní zkoušky  
727/32-712 ze dne 12. července  
1982-Věstník MŠK XVIII, číslo 21 ze  
dne 31.8.1982 s účinností od 1.9.1982.

**VYSOKÁ ŠKOLA STROJNÍ A TEXTILNÍ**  
Státní knihovna  
MĚSTSKÉHO STUDENTSKÁHO  
PSC 461 17

Rozsah grafických laboratorních prací: cca 40 stran textu doložených příslušnými výpočty a výkresovou dokumentací

Rozsah průvodní zprávy:

Seznam odborné literatury:

Tvarovací stroje PJB  
Výzkumná zpráva VÚSAB

Vedoucí diplomové práce:

Ing. Jaroslav B e l d a , CSc

Konsultanti:

Ing. Antonín Havelka VŠST

Ing. Miloslav Bauer, Jablonecké sklárny

Datum zahájení diplomové práce:

8. 10. 1979

Datum odevzdání diplomové práce:

23. 5. 1980

Ing. Jaroslav Beldá, CSc

Vedoucí katedry

Doc. RNDr. B. Stříž, CSc

Děkan



A handwritten signature in black ink, appearing to read "B. Stříž".

Kliseopřízorně prohlašuji, že diplomovou práci jsem  
vymaloval samostatně a použitím uvedené literatury.

Milan Šourek

.....  
Milan Šourek

v Liberci 23.5.1980

	Obsah.	str.
	<b>Obsah.</b>	4
	<b>Součet použitých symbolů</b>	6
	<b>Uvod</b>	10
1.	<b>Rozbor strojního zařízení na výrobu lustrových ověšků.</b>	12
1.1.	<b>Popis karuselového lisu KL - 1 .</b>	12
1.2.	<b>Popis činnosti karuselového lisu.</b>	14
1.3.	<b>Popis mechanismu v 1.lisovací stanici.</b>	16
1.3.1.	<b>Popis klapačky.</b>	16
1.3.2.	<b>Popis otevíracího mechanismu.</b>	17
1.3.3.	<b>Popis lisovacího mechanismu.</b>	18
1.3.4.	<b>Popis mechanismu kapkolapky.</b>	19
1.3.5.	<b>Popis stavěcího mechanismu.</b>	19
2.	<b>Dávka nového řešení.</b>	21
2.1.	<b>Variante č.1 - rekonstrukce otevíracího mechanismu.</b>	21
2.1.1.	<b>Popis varianty č. 1.</b>	21
2.1.2.	<b>Činnost varianty č. 1.</b>	22
2.2.	<b>Variante č.2 - použití spojovacího členu.</b>	22
2.2.1.	<b>Popis varianty č.2.</b>	22
2.2.2.	<b>Popis činnosti varianty č.2.</b>	23
2.3.	<b>Varianta č.3 -rekonstrukce otevíracího mechanismu.</b>	24
2.3.1.	<b>Popis varianty č.3.</b>	24
2.3.2.	<b>Popis činnosti varianty č.3.</b>	26
3.	<b>Výpočet otevíracího mechanismu klapaček v I pozici.</b>	29
3.1.	<b>Výpočet rozměrů otevírací páky a sil působících od skrutné pružiny klapačky.</b>	29

3.2.	Výpočet síly válce potřebné pro překonání síly zkrutné pružiny klapačky.	31
3.3.	Výpočet sil při zablokování klapačky v I. pracovní poloze.	32
3.4.	Výpočet délky zdvihu pistu a sil v mezipoloze.	32
3.5.	Kontrola pistnice na vapér.	34
3.6.	Výpočet potřebného vysunutí šroubové spojky válce pro možnost seřízení polohy horní poloviny tvárnice nad kapkou.	35
3.7.	Pevnostní kontrola silově namíhaných součástí otvíracího mechanismu klapaček.	36
3.7.1.	Kontrola otečného hřídele pák.	36
3.7.2.	Výpočet délky pera.	39
3.7.3.	Výpočet valivých ležísek hřídele.	39
3.7.4.	Výpočet pák otvíracího mechanismu.	41
3.7.5.	Výpočet čepu páky a zadní pistnice.	45
3.7.5.1.	Určení křivostnosti ležísku.	46
3.7.6.	Výpočet momentu.	47
3.7.7.	Kontrola šroubu stojanu válce.	49
3.7.8.	Kontrola šroubu nasezíku.	50
3.7.9.	Popis a popis ověření otvíracího mechanismu klapaček.	52
4.	Zdvír.	55
5.	Poddílnování.	57
6.	Sesnam použité literatury.	58

## SLOVNAK POUŽITÝCH SYMBOLŮ

Rozměrové jednotky jsou u příslušných symbolů uvedeny níž v textu.

Značka	Veličina
$C, C_0$	dynamická a statická únosnost ložisek hřídele
$S$	modul pružnosti v tehn.
$P_{kII}, P_{krII}, P_{kpII}$	obvodová radiální síla klapadly a síla s klapadly na páku v 2. pracovní poloze.
$P_{vII}$	horizontální síla válce v 2. pracovní poloze
$P_{vmax}, P_{vmaxx}, P_{vmaxy}$	horizontální, radiální a obvodová síla na horní páku v 1. pracovní poloze.
$P_{klI}, P_{krklI}, P_{pkI}$	obvodová, radiální síla klapadly a síla s páky na klapadku v 1. pracovní poloze.
$P_{vIII}$	horizontální síla válce v maxipoloze.
$P_M, P_{Mr}, P_{kpII}$	obvodová, radiální síla a síla s klapadly na páku v maxipoloze.
$P_{kpIIx}, P_{kpIIy}$	síla s klapadly na páku v 2. pracovní poloze do směru x a y.
$F_{SA}, F_{SB}$	neproměnné zatížení na ložisko v bodě A a B.
$P_{av}$	průměrná pracovní síla na horní páku.
$F_Q$	síla od hmotnosti válce a příslušenství.
$F_{s1}, F_{s2}, F_{s2}^I, F_{s2}^{II}$	tahové síly ve šroubech 1 a 2 stojanu válce a jejich složky od ohýbového momentu a posouvající síly.
$F_s, F_s^I, F_s^{II}$	tahové síly ve šroubu příruba nosníku výsledné od kroutícího momentu a posouvající síly nosníku.
$F_N$	výsledná posouvající síla nosníku
$G_v, G_r, G_s$	hmotnost válce, rozveděče a škrticího ventilu.
$J_c$	moment setrvávatnosti průfusu čepu.

$J_{zz}$	moment zotrvačnosti průřezu nosníku k ose x.
$L_{AA}, L_{BB}$	šířka ložisek v bodech A a B
$M_{tX}, M_{tY}$	moment skruťné pružiny v mezipoloze a v 2. pracovní poloze
$M_{OA}, M_{OB}, M_{OC}, M_{oBX}, M_{oBy}$	chybový moment hřídele v bodech ABC a složky do osy x a y
$M_{kh}$	kruticí moment hřídele
$M_{kn}$	kruticí moment nosníku v stýčných deskách
$R_A, R_{AX}, R_{AY}, R_B, R_{BX}, R_{BY}$	reakce a jejich složky do osy x a y v místech uložení hřídele v ložiskách A a B od sil v II pracovní poloze
$R_x, R_y, R_z$	výsledná reakce a její složky do osy x a y v místě otocného uložení páky v nosníku
$R_x$	poloměr rozvratu klapadky
$R_y$	výsledná síla působící na šrouby nosníku
$R_{pI}, R_{pII}, R_M$	poloměry stýků páky s klapačkou v 1.2. pracovní poloze a mezipoloze
$T_A, T_{AX}, T_{AY}, T_B, T_{BX}, T_{BY}$	reakce a jejich složky do osy x a y v místech uložení osy hřídele v ložiskách A a B od sil při zablokování klapadky
$W_{OA}, W_{OC}, W_{KA}, W_{KC}$	modul průřezu v chybě a krutu v místech A a B
$a_c, c_c, d_c, h_c, l_c, k_c$	rozměry týkající se čepu
$a_h, c_h, b_h, d_h$	rozměry týkající se hřídele
$a_k, b_k, d_k, l_k, j_k$	rozměry týkající se klapačky
$a_M, b_M, c_M, k_M$	rozměry týkající se klapačky v mezipoloze
$a_s, b_s, c_s, d_s$	rozměry týkající se šroubu stojanu válce
$d_H, r_H$	rozměry týkající se šroubu nosníku
$n, b$	rozměry pera

$b_D, b_D^*, t_D, n_p$	rozměry tykající se dolní páky.
$b_H, b_H^*, t_H, n_p$	rozměry tykající se horní páky.
$b_Y, b_Y^*, b'_H, b'_Y$	rozměry podřezu nosníku.
$l_X, s_X$	rozměry tykající se nosníku.
$l_Y, l_{Y1}, l_{Y2}$	celkový a jednotlivé závity pistnice.
$k_d$	dynamický součinitel.
$n$	exponent.
$k_s$	součinitel bezpečnosti proti posunutí styčných danek nosníku.
$n_Q$	součinitel závislosti příčovné hustoty.
$P_{DOW}$	dovolené otláčení pery.
$p_S$	otláčení kluzadla ležiska.
$q_B$	silové obtížení nosníku.
$r_p$	poloměr horní páky.
$r_k$	poloměr ležisku klapadky.
$v_c$	obvodová rychlosť čepu.
$w_Y$	průhlyb nosníku.
$w_{max}$	maximální průhlyb čepu.
$\alpha_k, \beta_k, \gamma_k, \delta_k, \chi_k, \varphi_k, \psi_k$	úhly tykající se klapadky.
$\alpha_H, \beta_H, \gamma_H, \delta_H, \chi_H, \varphi_H, \psi_H, \nu_H, c_H, E_H, \mu_H$	úhly tykající se nosipoleky.
$\alpha_p, \alpha_N, \beta_p, \beta_N$	úhly tykající se páky.
$\mu_A, \mu_B$	součinitel bezpečnosti pro rezové zatížení ležisek A a B.
$\pi$	Lindelfovo číslo.
$G_k$	nos kluzadla.
$G_{do}$	dovolené napětí v chybě.
$G_{redC}, G_{redA}$	redukované napětí hřídele v místech A a B.
$G_{oA}, G_{oC}$	chybové napětí hřídele v místech A a B.
$G_{oH}, G_{od}, G_{redH}, G_{redD}$	chybové a redukované napětí horní a dolní páky.

$G_{oc}$	stygrové napětí dopy.
$G_{on}$	stygrové napětí oceli.
$G_{ot}$	dovolené napětí + taha.
$T_{redD}, T_{redH}$	zvýšené stykové napětí svaru dolní a horní páky.
$T_{10}, T_{20}, T_{1H}, T_{2H}$	stykové a stygrové napětí svaru dolní a horní páky.
$T_{os}$	dovolené stykové namáhání svaru.
$T_o, T_u$	stykové napětí průčan dolní a horní páky.

## J V O D.

deklarovaného cíleiny, kou je zitnemán zadání této diplomové práce, jemuž sklidovým podáním celého jehloneckého březenského průmyslu, protože výsledků vedení základní ekonomické situace pro ostatní podniky komplikuje.

Jedním pracovním úsekem z celkového výrobního programu je výroba lustrových svěd. V této části výroby je podnik monopolním výrobcem v ČSSR.

Zrybnění poptávka po výrobcích a lustrových svěd na domácích i světových trzích si vyhádala překladacemi soudcovského plánu výroby a plánu souvoje strojního parisu podniku.

Na automatach U6 lze vyrábět výlisky jen do určité velikosti. Rozšířující výrobky se lisují ručně, protože na karuselovém liseně U6 nelze technologicky zvládat výrobu rozšířujících výrobků. Ruční výroba je však fyzicky a psychicky náročná, mimo produktivní a po ekonomické stránce pracovníků nevhodná.

Zvýšení objemu výroby lustrových svěd bylo tedy možné pouze zavedením nové techniky, protože pracovní zdroje jsou již acela vyčerpány a jejich produktivitu již nelze zvýšit.

Při výpracování plánu TR koncernového podniku se výše z výše uvedených poslatků a ze závěru 12.zasedání UV KSC a s usnesení IV. sjedtu KSČ, které nino jiné uklidají: zvýšit exportní schopnost čs.průmyslu vývojem a zaváděním nové techniky, mechanizaci a automatizaci.

Proto do plánu TR koncernového podniku byl zahrnut úkol "Linka na výrobu výlisků lustrových svěd".

Vývojem nového zařízení na výrobu lustrových výlisků vznikl stroj, jediný svého druhu na světě.

Po zavedení karuselového lisen do skutečného provozu se zjistilo,

je lisovací stanice naplní svou optimálnou funkcií, což znamená vytváření výrobky.

Úkolem této části je pak je rozbor stávajících stanic a rekonstrukce lisovací stanice tak, aby byla odstraněna pochopení a vytvoření výrobky, při které se musí umožnit nejdříve lisovací stanice.

**1. Režim strojního nařízení na výrobu lustrových skříň.**

**1.1. Popis karuselového lísu KL - 1.**

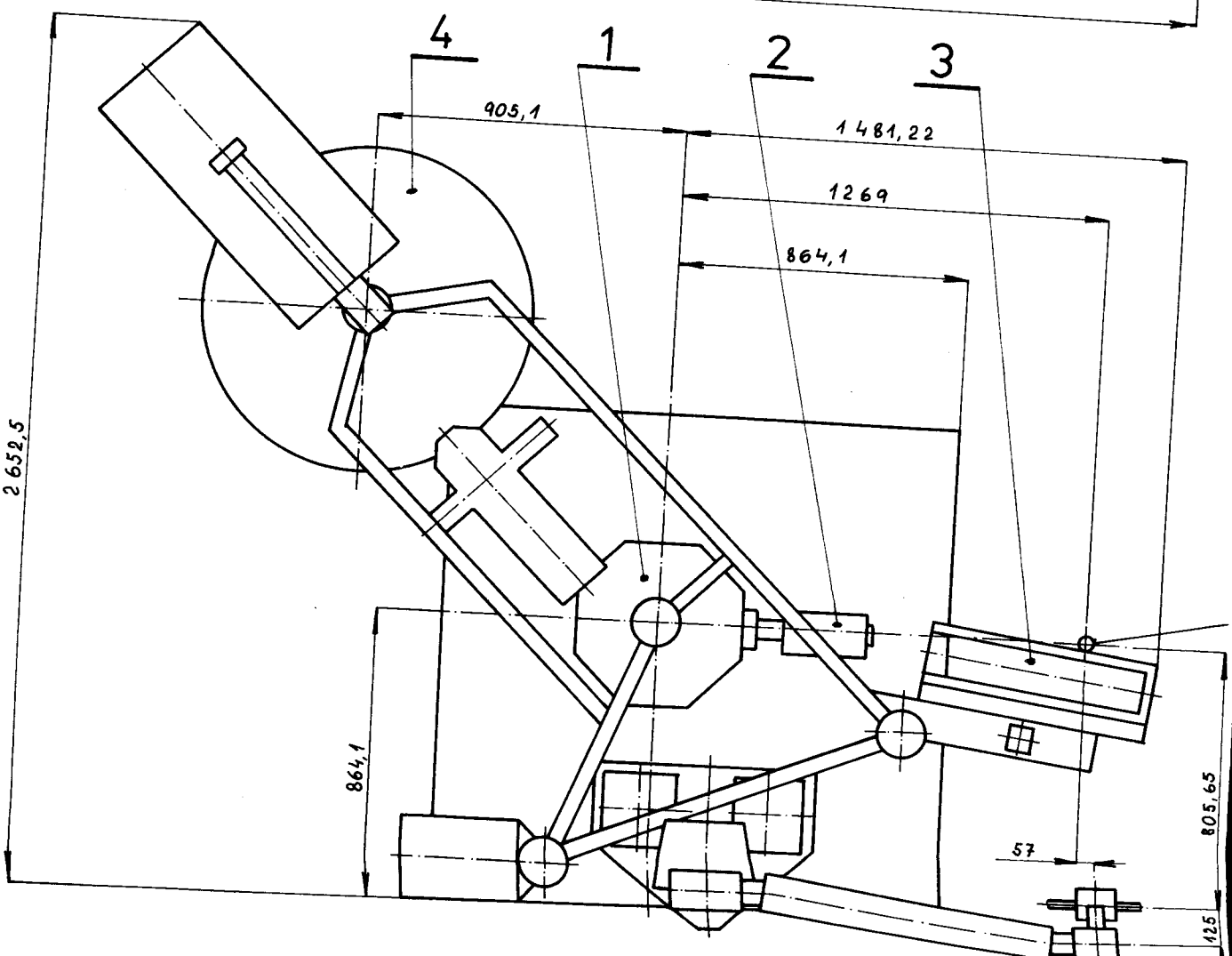
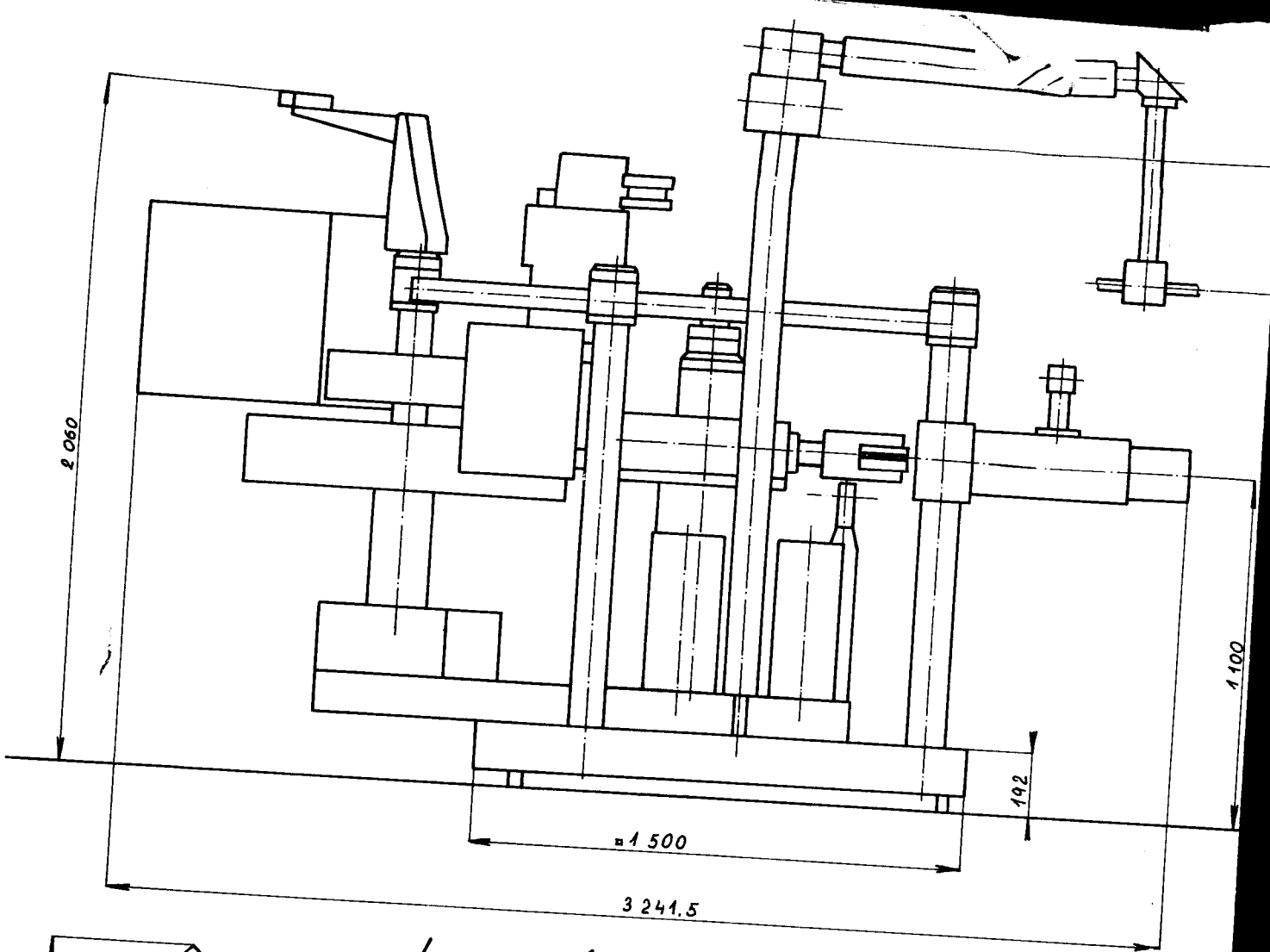
Karuselový lis KL - 1 je konstantický dvoustolezový nařízení lze. Slouží k výrobě výtěžných výlisek lustrových celotrvalených nebo smirkových ve středních a výtěžných řadách. Lisevání se provádí z jednotlivých dílů skloviny v lisevacím mechanismu tzv. klapadce.

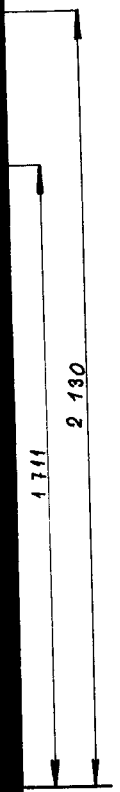
Automat pracuje v závislosti na strojní nařízení, které se sestávají z:

výtokového kanálu skloviny  
dávkovače skloviny jednoimpulsové MIP 50  
karuselového lisu KL - 1  
pedálného dopravníku  
příváného dopravníku  
zasouvací výlisek  
chladičí pásové pase AMCO - XVI

Karuselový lis KL - 1 je souborem jednotlivých strojních podskupin:

rám stroje  
pohon  
otočný stůl  
klapadky  
lisevací mechanismus  
otvírací mechanismus  
mechanismus kapučinky  
stavěcí mechanismus  
mechanismus šládku  
řidící skřínky





- 1 .... otočný stůl karuselového lisu
- 2 .... klapačka
- 3 .... lisovací mechanismus
- 4 .... pískový karousel

ÚSTÍ VÝTOKOVÉ MISKY

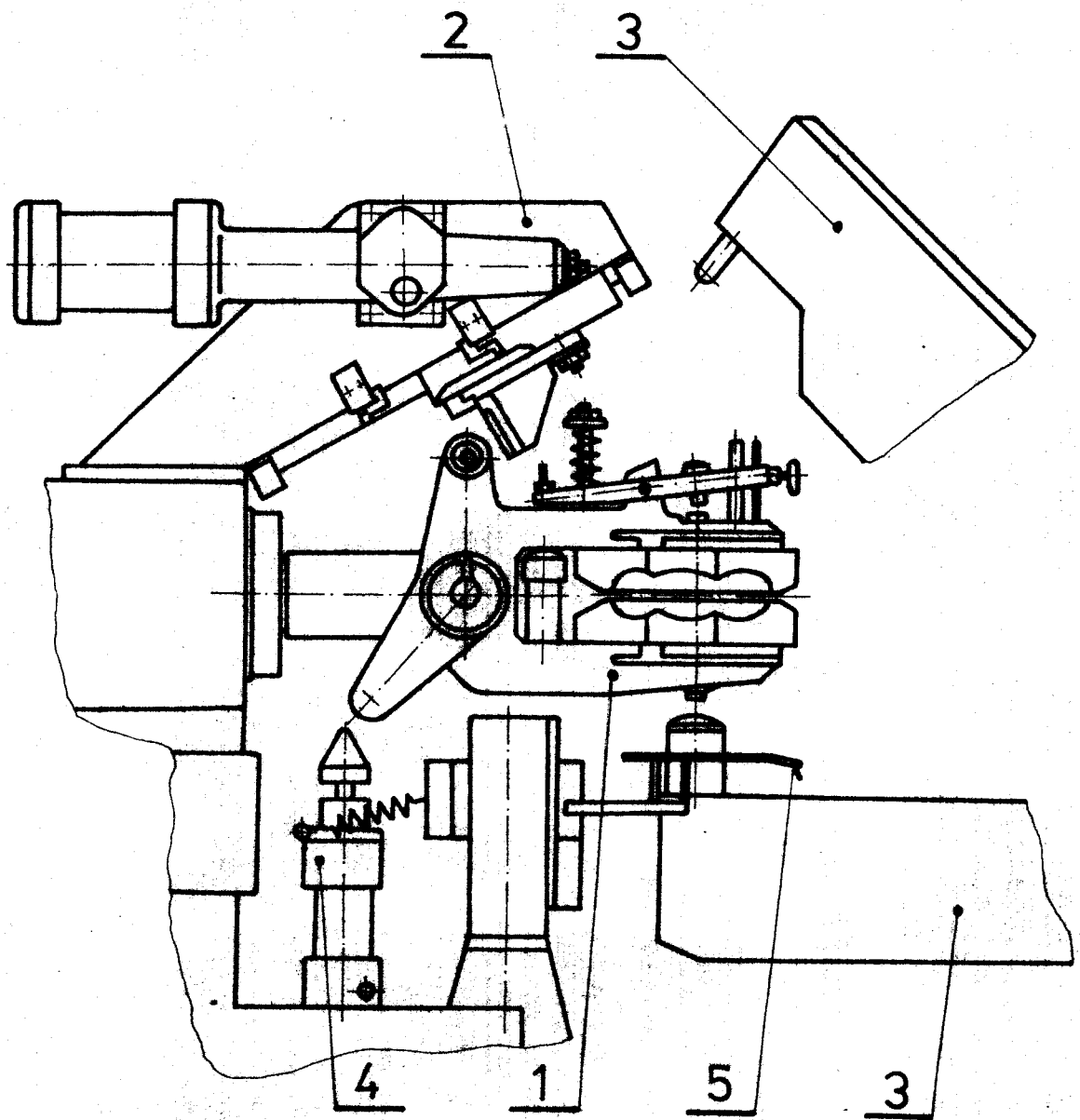
obr. 1 Karuselový stroj

synchronizace  
manipulátor  
písací kroužek  
formy

#### 1.2. Popis činnosti karuselového lisu.

Impuls z hidrálního sloupu přestaví rozvaděč otvíracího mechanismu v 1. pozici a posuvná otvírací čelist otevře klapačku. Do prostoru mezi tvárnice se nastaví rameno lapače kapky a kulová hlava pístnice stavěcího mechanismu se vysune pod klapačku. Z pracovního prostoru vany o regulované hladině skloviny vytéká výtokový kanál s tepelně připravenou sklovinou. Dýkyváčem RHP 50 je ze skloviny připravena dívka o vhodné teplotě, vinnositě, hmotnosti a hodnotci. Kapky jsou vedeny žlabkem do prostoru mezi tvárnice, kde jsou zachyceny a ustanoveny pomocí lapače kapek. V další fázi dojde k volně posunutý člen otvíracího mechanismu horní poloviny tvárnice, který je silou skrutné pružiny klapačky vrátce do původní polohy a nad sklovinou je zachycena kulovou hlavou stavěcího mechanismu.

Lisovací mechanismus, vyvedený svými rameny do 1. stanice, přesobí na lisovací čep jehelníku a na čep spodní poloviny klapačky. Lisovací síla stlačuje rameno klapačky a vytváří průsah tvrdnic a jehly vlastní tvar výrobku. Zároveň odkládí prudkou kmitání horní ramena klapačky stavěcího mechanismu a přebocivou sílu téžné pružiny. Po ukončení lisování se vraci píst stavěcího mechanismu do původní polohy. Po vrácení lisovacích čelistí do východní polohy, oddíl téžné doraz klapačky obě poloviny tvárnice. V tomto poctování jsou ramena klapačky silou pružného dorazu a protipásebici sílem od téžné pružiny.



**obr. 1" lissovací stanice**

**1 ... klepáčka**

**4 ... stavěcí mechanismus**

**2 ... otevírací mechanismus**

**5 ... rameno lapače kůpy**

**3 ... lissovací sumno**

Zároveň je vráceno rameno jehelníku do původní polohy a zde drženo tlačnou pružinou. V tomto okamžiku je pracovní cyklus v 1. stanici ukončen.

Ve druhé až osmé stanici lalu se klapačky současně otevřejí kolem vodorovné osy o  $180^{\circ}$  a kolem svislé osy o  $45^{\circ}$ .

V každé stanici se tvárnice protvárají a tím se docílí technologicky regulačního ohlašení výlisků a zabrání se vzniku propadlých plech vlivem jednostranného ochlašování.

Pátá a sedmá stanice je upravena jako odnímači, kde se klapačky otevřají o  $60^{\circ}$  a uvnitř chladicího odnímače výlisků vniknout do prostoru mezi formy a vyjmut z nich výlisek, který potom odkládají na písčový karusel. Zde probíhá ohlašení výlisků a jeho transport k druhému odnímači, který překládá výlisky z písčového karuselu na podélný dopravník.

Osmá stanice slouží pro čistítku, sušení a ohlašení form.

Podélným dopravníkem jsou výlisky přemístěny do předního chladicího písčového pásu AMCO XVI. Zde jsou přejížděny příčným dopravníkem, řízeným a pomocí mechanismu zasuváče zakládky do výklopného prostoru chladicího písčového pásu. Činnost zasuváče je přetaktována a je ovládána od otáček pohybovacího bušku příčného dopravníku. Pohyb písčového karusela je plněný a plněně regulačními. Chod ostatních mechanismů lalu KL - 1 je řízen ze dvoj. řídících silnic, jejichž chod je synchronizován s chodem dálkového ovládání. Jednotlivé segmenty lalu jsou napojeny a řízeny tlakovým valvulací, kružní písčového karusele a ovlodu "Central stop", které jsou napojeny elektrickým proudem.

Většina mechanismů je uložena v rámě stroje. Části lalu, které musí být přístupné i za chodu stroje z důvodu kontroly a seříditelnosti, jsou nezakrytovány.

Úinnost jednotlivých mechanismů karuselu je jištěna proti případné kolizi nebo destrukci pneumatickými logickými obvody.

### Zhodnocení.

V původním řešení stanice č.1. nebylo použito pravého stavěcího mechanismu. Horní polovina tvárnice tak přímo dosedla na sklovinku. Na dosednutím klapadly na sklovinku a vlastním lisováním vznikla časová prodleva. To způsobilo ochlazení povrchové vrstvy skloviny odvedením tepla tvárnici. Při vlastním lisování se vlivem zatuhlé vrstvy vytvořil svlněný a svrásněný povrch výrobku, což vedlo k mastkovitosti. Z téhoto důvodu se musela horní polovina tvárnice dovršit nad sklovinku a lisování výrobku provést nepřetržitě tak, aby sklovina byla v neustálém pohybu a nedošlo k lokálnímu ochlazení skloviny.

Teheto se zlepšové dosáhlo použitím již výše zmíněného stavěcího mechanismu.

Suvýhodou téhoto řešení byla nerealizovatelnost seřízení vzdálosti mezi horní polovinou tvárnice a kapkou skloviny při dovršení klapadly nad sklovinkou a teda straje vzhledem k bezpečnosti obsluhy karuselu a akorčení seřízení za klidu straje vzhledem ke špatném přístupu ke stavěcímu mechanismu. Další suvýhodou je možnost pohybu v radiálním směru. Tím dochází k unaděřování upřímné tvarovacích kroužků, což ní za následek snížení hroznosti ohnivého mechanismu.

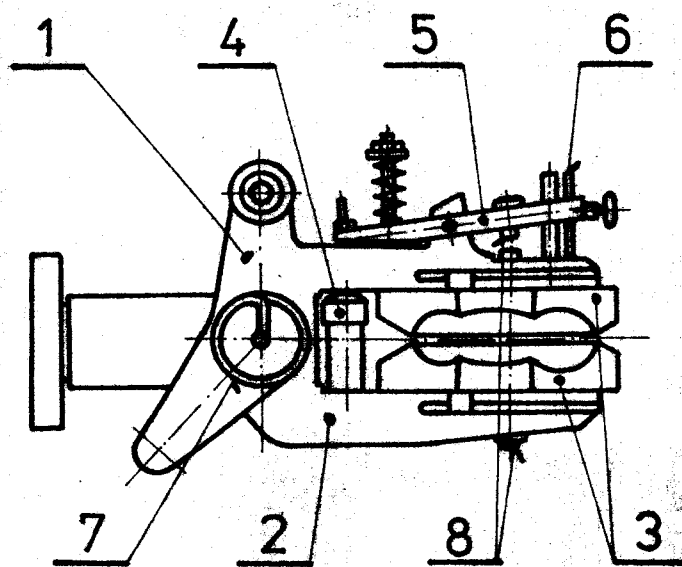
### 1.3. Popis mechanismů v 1. lisovací stanici.

#### 1.3.1. Popis klapadly.

Sestává ze spodního ramene klapadly, které je povět uchyceno na otáčecí stole karuselu a s horního ramene, které je kryvně

spojeno se spodním ramenem. Na obě ramena jsou připevněny tvárnice. Na horním ramenu je dvojzvratná páka jehelníku, která je držena v základní poloze tlačnou pružinou. V jehelníku je upevněno jehlo, které prochází horním ramenem a tvárnicí a slouží k vytváření otvoru ve výlisku.

Mezí ramena klapačky je vložen první a průkyný doraz pro vymezení vzdálenosti mezi tvárnicemi. Ramena klapačky jsou držena v otevřené poloze silou skrutné pružiny. Lisevací síla se na ramena klapačky přenáší z lissu prostřednictvím čepu páky jehelníku a čepu spodního ramene klapačky.



obj. 2 Klapačka

- 1 ... horní rameno  
klapačky
- 2 ... dolní rameno  
klapačky
- 3 ... formy
- 4 ... průkyný doraz
- 5 ... jehelník
- 6 ... jehlo
- 7 ... skrutná pružina
- 8 ... lisevací čep

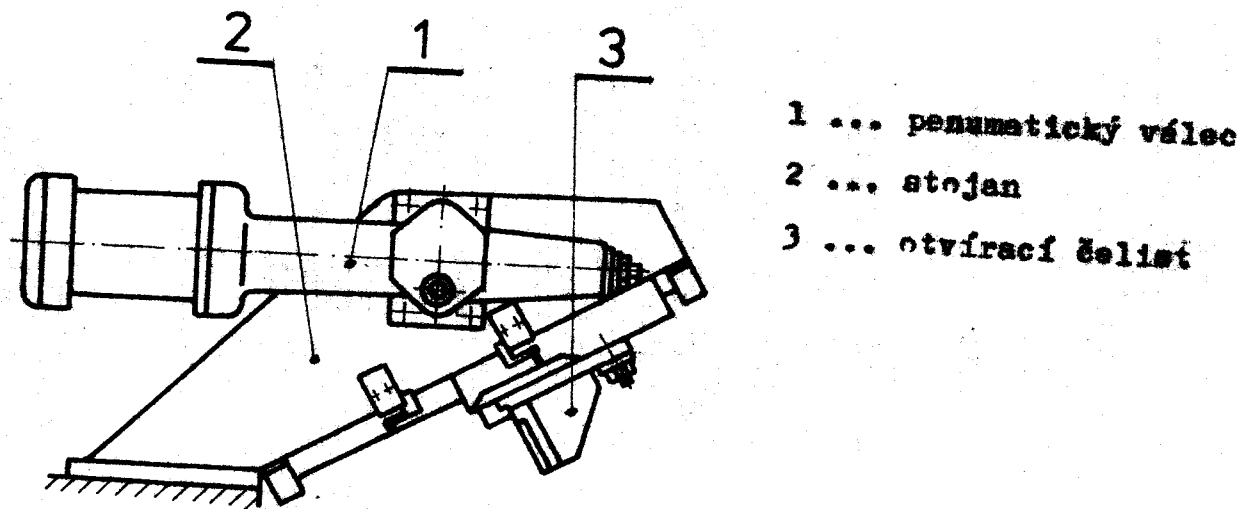
### 1.3.2. Poppo otvíracího mechanismu.

Otvírací mechanismus je tvořen pneumatickým válcem, který má predloženou vedenovou se pohybující pistničí ve formě ozubeného hřebenu,

Pneumatický otvírací čelist klapačky je připevněna na ozubený hřeben knající řídícího pohyb. Mezi oba hřebeny je vložen ozubený pastorek, který transformuje pohyb pistniče pneumatického válce na posuvný pohyb hřebenu otvírací čelisti.

Změna směru pohybu pistnice je řízena rozvaděčem a rychlost regulovaný škrticími ventily.

Otvírací mechanismus jako celek je připevněn na pevném stole karuselu a jeho poloha je fixována pomocí tří šroubů a dvou radiálních držáků.



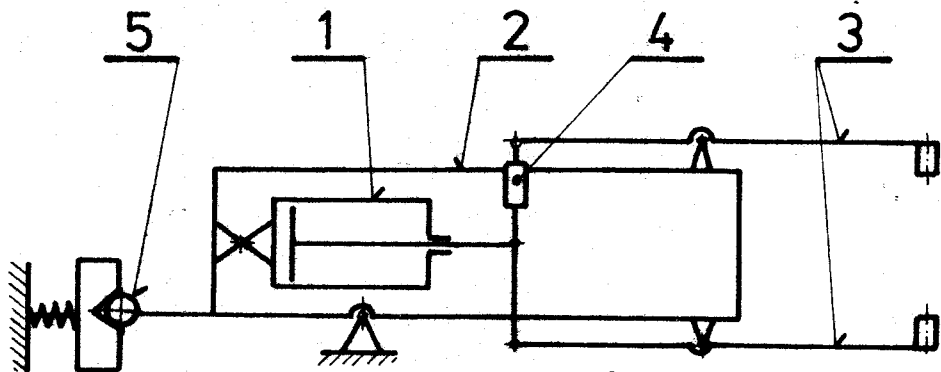
Obr. 3 Otvírací mechanismus

#### 1.3.3. Popis lisovacího mechanismu.

Skládá se z pneumatického válce s hydraulickým tlumencem, který svírá pásy přes páky a těhlo lisovací čelisti. Jedno těhlo je svařeno spojku s levým a pravým návitem pro možnost vzdělanné nastavení poloh obou čelistí.

Válec je krytě spojen s rámem s možností naklonění. Na rámu je připevněno kladiště, které zapadá do drážky přitlačovací pružiny. Ještě-liže při lisování dojde k zablokování klapačky, pak kladiště překoná sílu pružiny a vypadne z drážky. Tím se zahrání destrukci celého mechanismu.

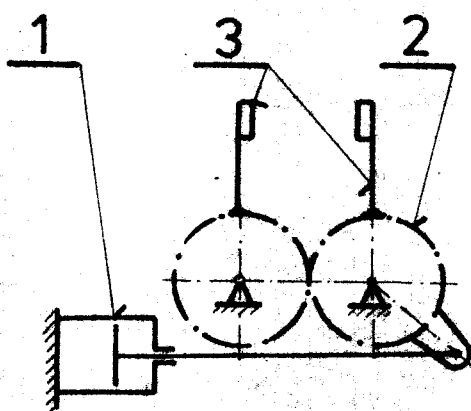
- |                                 |                       |
|---------------------------------|-----------------------|
| 1 ... pneumatický válec         | 4 ... šroubová spojka |
| 2 ... rám lisovacího mechanismu | 5 ... kladiště        |
| 3 ... lisovací rámec            |                       |



obr. 4 Lisovací mechanismus

#### 1.3.4. Popis mechanismu kapkolapky.

Mechanismus kapkolapky se sestává z dvou ozubených spoluobírajících kol, na kterých jsou připevněny ramača lapače kapky. Pohon je uskutečněn prostřednictvím pneumatického válce, který přenáší pohyb na součeky.

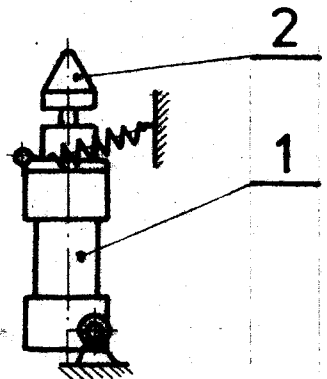


- 1 ... pneumatický válec
- 2 ... ozubená kola
- 3 ... ramečko lapače kapky

obr. 5 Mechanismus kapkolapky

#### 1.3.5. Popis stavěcího mechanismu.

Stavěcí mechanismus se skládá z pneumatického válce, který je výkyvně uložen na čepu pod klapničkou a držen v základní poloze tažnou pružinou. Na pistaci je kulecová hlava, která udržuje horní polovinu klapničky nad sklovinou.



1 ... pneumatický válec

2 ... kuželová hlava

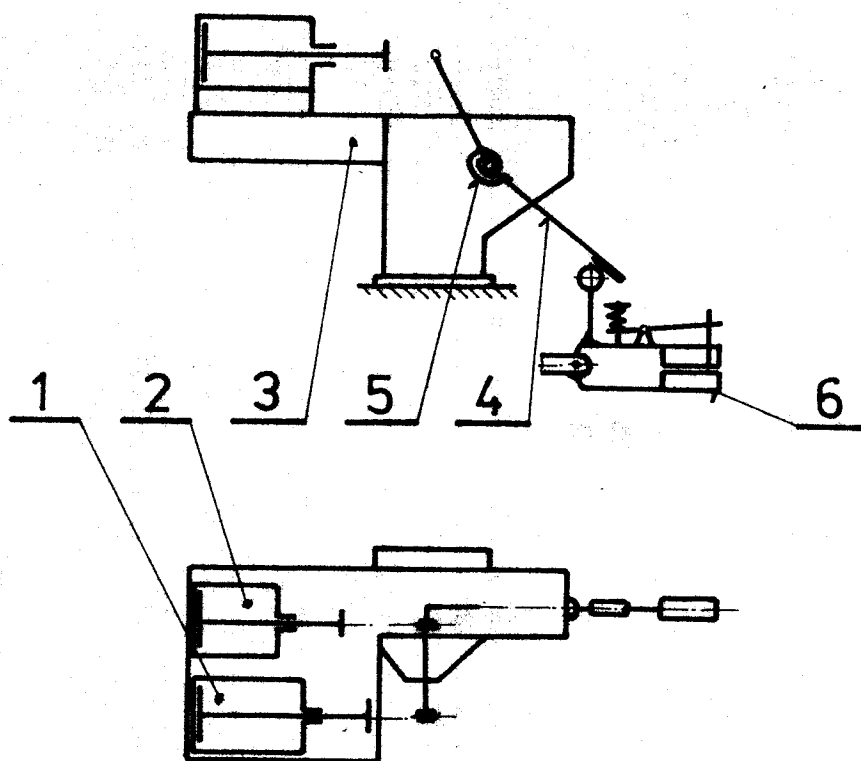
obr. 6 Stevčí mechanismus

## 2. Návrh nového řešení.

### 2.1. Varianta č. 1 - rekonstrukce otvíracího mechanismu.

#### 2.1.1. Popis varianty č. 1.

Sestává se ze dvou pneumatických válců o různém zdvihu uspořádaných vedle sebe, které pohání na dvojzvratnou páku. Vrcholní část páky je opatřena po obou stranách opěrnými deskami. Na spodní části páky je otevírací čelist klapačky. Páka je ve výchozí poloze držena silou skrutné pružiny otevírací páky.



obr. 7 Varianta č. 1

- |                             |                        |
|-----------------------------|------------------------|
| 1 .... válce o zdvihu $l_1$ | 4 .... páka            |
| 2 .... válce o zdvihu $l_2$ | 5 .... skrutná pružina |
| 3 .... stojan               | 6 .... klapačka        |

### 2.1.2. Činnost varianty č. 1.

Vzhledem k původnímu stavu zde není použito stavěcího mechanismu. Popis a činnost ostatních mechanismů viz. kap. 1.

Hidráfický impuls přestaví rozvaděče obou válců tak, že se pohyb obou válců koná ve směru radiálním od středu karuselu. Pístnice o zdvihu  $l_1$  otevře dvojzvratnou pákou horní polovinu klapadélky. Po dopravení a ustavení dívky skloviny v prostoru mezi tvárnicemi se vrátí pístnice o zdvihu  $l_1$  do původní polohy. Otvírací páka je zachycena pístnicí o zdvihu  $l_2$ . Tím se zabrání dosednutí tvárnice na sklovinu.

V další fázi proběhne lisování, při kterém po jeho dokončení se i pístnice o zdvihu  $l_2$  vrátí do výchozí polohy. Otvírací páka je silem zkrutné pružiny páky vrácena do základní polohy. Seřazení polohy tvárnice nad kaprou je provedeno prostřednictvím stavitelné nárušky pistu o zdvihu  $l_2$ .

Další činnost viz. kap. 1.2.

### Shodnocení varianty č. 1.

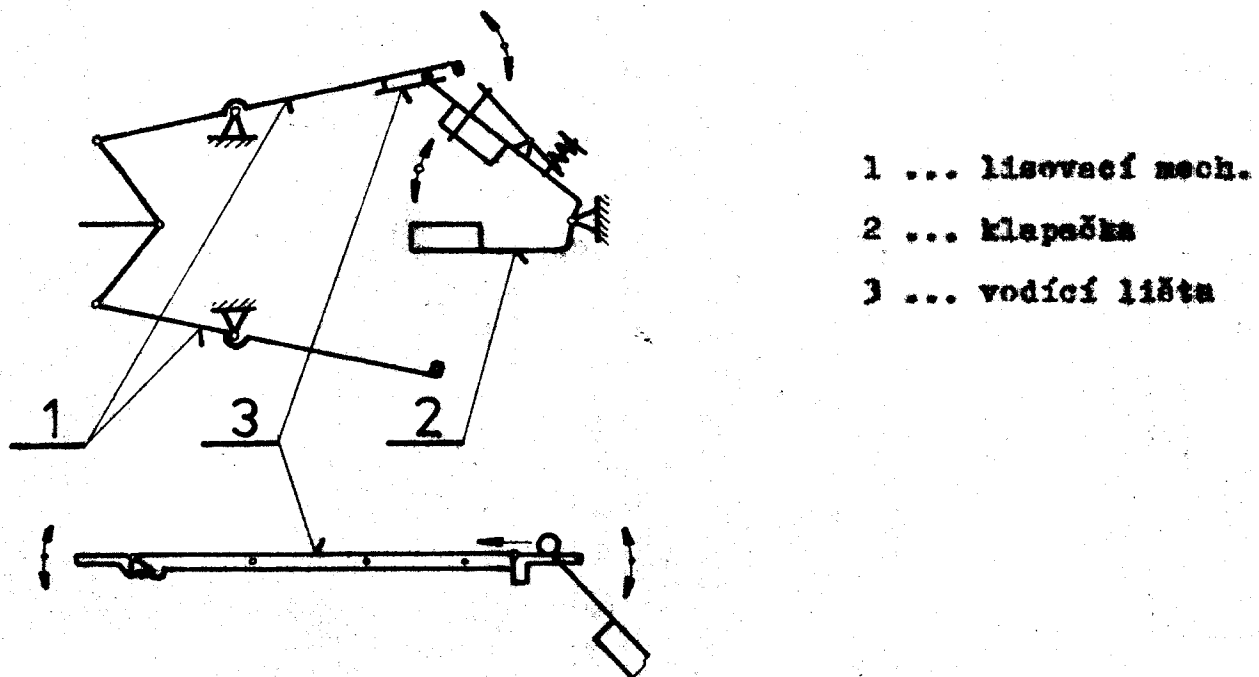
Toto řešení splňuje požadavky kladené na rekonstrukci stanice č. 1.

Nevýhodou je zde velká podložková plocha otvíracích mechanismů, čímž se sníží přístup k ostatním povrchům karuselu.

### 2.2. Varianta č. 2.- použití spojovacího článku.

#### 2.2.1. Popis varianty č. 2.

Na horní rameno klapadélky je připevněn čep s na rameno dvojzvratnou pákou lisovacího mechanismu kluzná vodící lišta se sklopnou konci.



obr. 8 Varianta č. 2

#### 2.2.2. Popis činnosti varianty č. 2.

Po vyslání impulzu z řídícího skupku otevře otvírací čelist klapadlo. Současně dojde k mechanickému spřažení horní polohy klapadly a dvojvrstvé páky lisovacího mechanismu nadavednutím sklopného konca spojovacího článku. Do nastavení klapky na svárnici uvolňuje otvírací čelist klapadlo. Při lisování se pohybuje přidavař čep klapadly po kluzné liště napřes dvojvrstvou páky lísu. V okamžiku, kdy čep lisovacího mechanismu působí pětou čepem klapadly na dřívka skloviny, začíná se mechanické spřažení mezi klapadly a lisovacím mechanismem uvolňovat souborovým vyjetím čepu a kluzné dráhy spojovacího článku.

Při delisování musí být tato spřažení již scela uzavřeno, aby se mohlo uchovávat polohy lisovacích čelistí do východní polohy, aniž by přitom došlo ke kolizi mezi klapadlem a lisovacím mechanismem.

Serižení vztahem polohy klapačky a kapky lze posuvem spojovacího členu na rozsah lisovací páky.

Další činnost viz. kap. 1.2.

Na rozdíl od současného stavu už není užito stavěcích mechanismů.

### Zhodnocení.

Tento způsob řešení je teoreticky velmi jednoduchý. Vykádání je jen nepatrné zásahy do stávajícího zařízení a je ekonomicky málo náročný. Nevyhodou je možnost seřízení spojovacího členska jen za klínu stroje. Z tohoto důvodu lze předpokládat pouze při spojení a rozpojení klapačky a lisovacího mechanismu. Při nesplnění těchto podmínek může dojít k destrukci mechanismu lisu a klapačky a tím vyřazení celé výrobni linky z provozu.

### 2.3. Varianta č. 3 - rekonstrukce otvíracího mechanismu.

#### 2.3.1. Popis varianty č. 3 č.v. 00-DP 352/80 - 00 - 00.

V tomto řešení není užito stavěcího mechanismu.

Otvírací mechanismus varianty č. 3 se sestává z čtyřpolohového pneumatického válce, který může zaujmout čtyři pracovní polohy. V tomto případě je využito tří poloh:

počáteční, koncové polohy a mezipoložky.

Na jedné straně je pístadlo povrch spojeno s čepem, který je otočně uložen ve stojechu převodového konca nosníku. Druhé pístadlo je přes stavitelnou šroubovou spojku kyvně spojeno s pákou, která je namontována na jeden konec otočného hřídele. Na druhý konec hřídele je na pero namontována otvírací páka klapačky. Hřídel je uložen ve dvou radiálních malíkových ložiskách, které jsou malisované v přístejném tělese.

To je spojeno s druhým převodovým knoflem nosníku. Nosník je svázenec skříňovitého tvaru a je připevněný ke stojanu, který je pevně fixovaný na pevném stole karuselu.

Koncové polohy válce jsou signalizovány mikrospínači a staviteľnými narážkami.

Další příslušenství:

blokovací ventily

mrtvici ventily

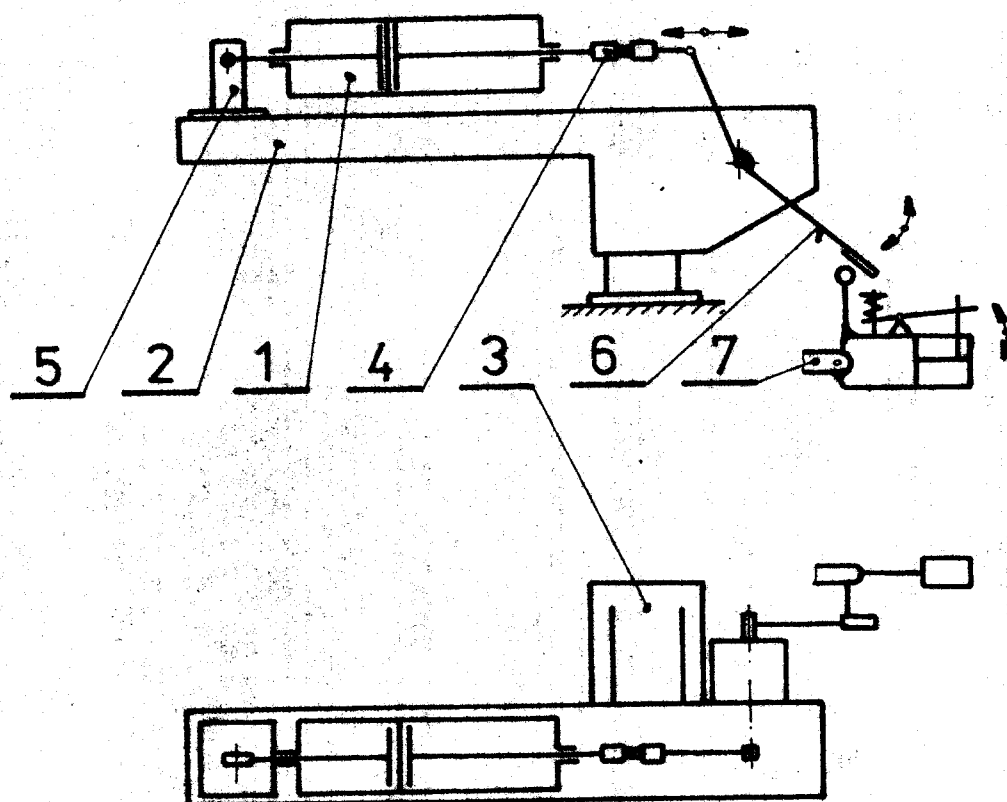
rouvadélko

mikrospínač, signalisující polohu ramen lnu při dolisování

redukční ventil

spojuvací členy

Popis a číslování ostatních mechanismů viz výkres. 1.



obr. 9 Varianta č. 3

- |                                    |                     |
|------------------------------------|---------------------|
| 1 .... dvojčinný pneumatický válec | 5 .... stojan válce |
| 2 .... nosník                      | 6 .... páka         |
| 3 .... stojan                      | 7 .... klapačka     |
| 4 .... šroubová spojka             |                     |

### 2.3.2. Popis činnosti varianty č. 3.

Po vyslání impulsu z řídícího sloupu se oba rovnadlo pěstaví tak, že obě pistnice se vysunou na svou maximální vzdálost. Ramenné páky otevře klapačku o  $52^{\circ}$ . Do prostoru mezi tvárnice se nastaví ramenná lapače kapky. Po sjetí dávky skloviny od dívka vede po maximálním klidku a její ustavení mezi tvárnicemi pomocí kapkolapky se ramenná lapače kapek odklopí z prostoru mezi tvárnicemi.

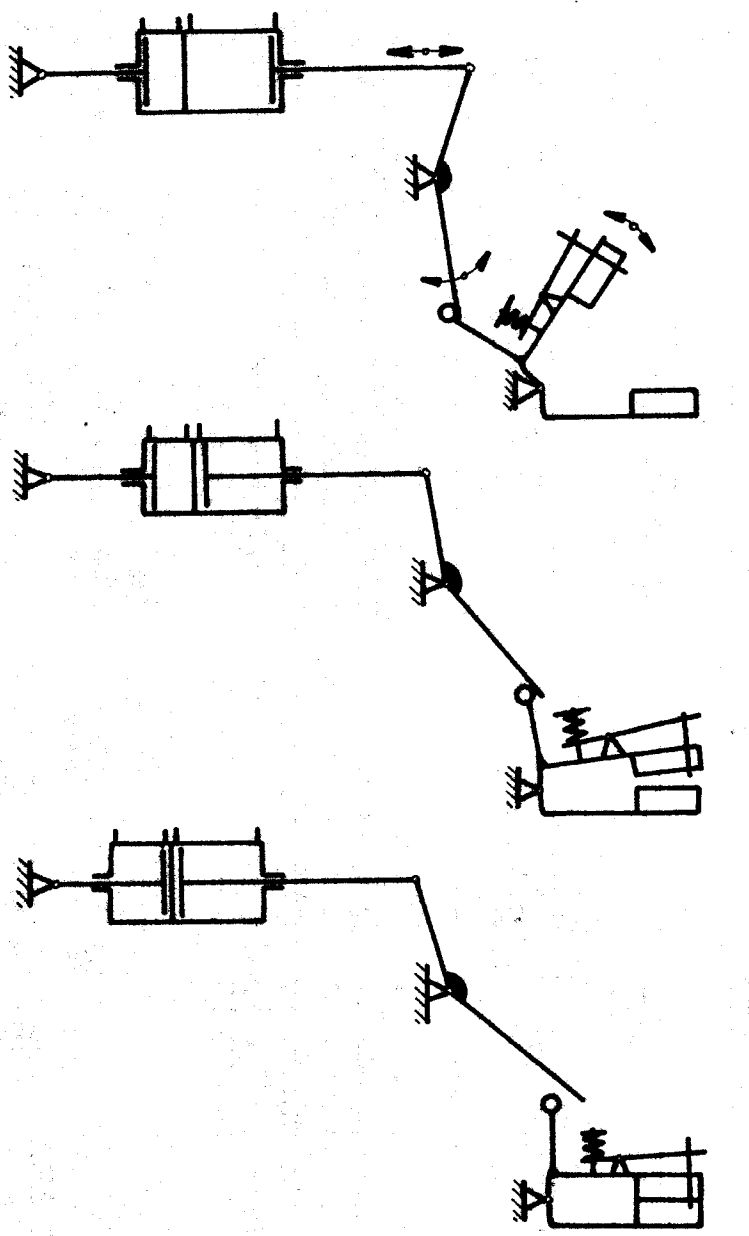
V další fázi se vraci pistnice o větším zdvihu do nulové polohy. Difuzorovací ventily se přestaví do polohy, kdy vzdušina o redukováném tlaku na 0,2 MPa proudí před pist o menším zdvihu.

Tím se zahrání nadměrného silovému zatížení otvíracího mechanismu, klapačky a lisovacího mechanismu při lisování, protože horní polovina klapačky je nad sklovinsou držena jen o málo větší sílu než je síla obratné pružiny klapačky a lisovací člen musí překonávat velké síly otvíracího mechanismu.

Po delisování se rovnadlo pěstaví tak, že vzdušina o tlaku 0,6 MPa proudí na pist a vytváří protitlak, který vraci i pist o menším zdvihu do výchové polohy.

Další činnost viz.kap. 1.2.

Polohu horní poloviny tvárnice nad kapkou lze seřídit i se chodu stroje pomocí šroubová spojky.



obr. 10 Pracovní polohy klapačky a válce

**II** .... druhá pracovní poloha

**M** .... mezipoloha

**K** .... konzumní poloha (výchozí)

### **Zhodnocení.**

Tato varianta je z uvedených tří řešení nejvýhodnější, protože lze snadno provést seřízení polohy klapačky nad sklovinou v mezipoleze i za chodu stroje při současném dodržení bezpečnosti obsluhy, přičemž novznikají další problémy při provozu karuselového lisu.

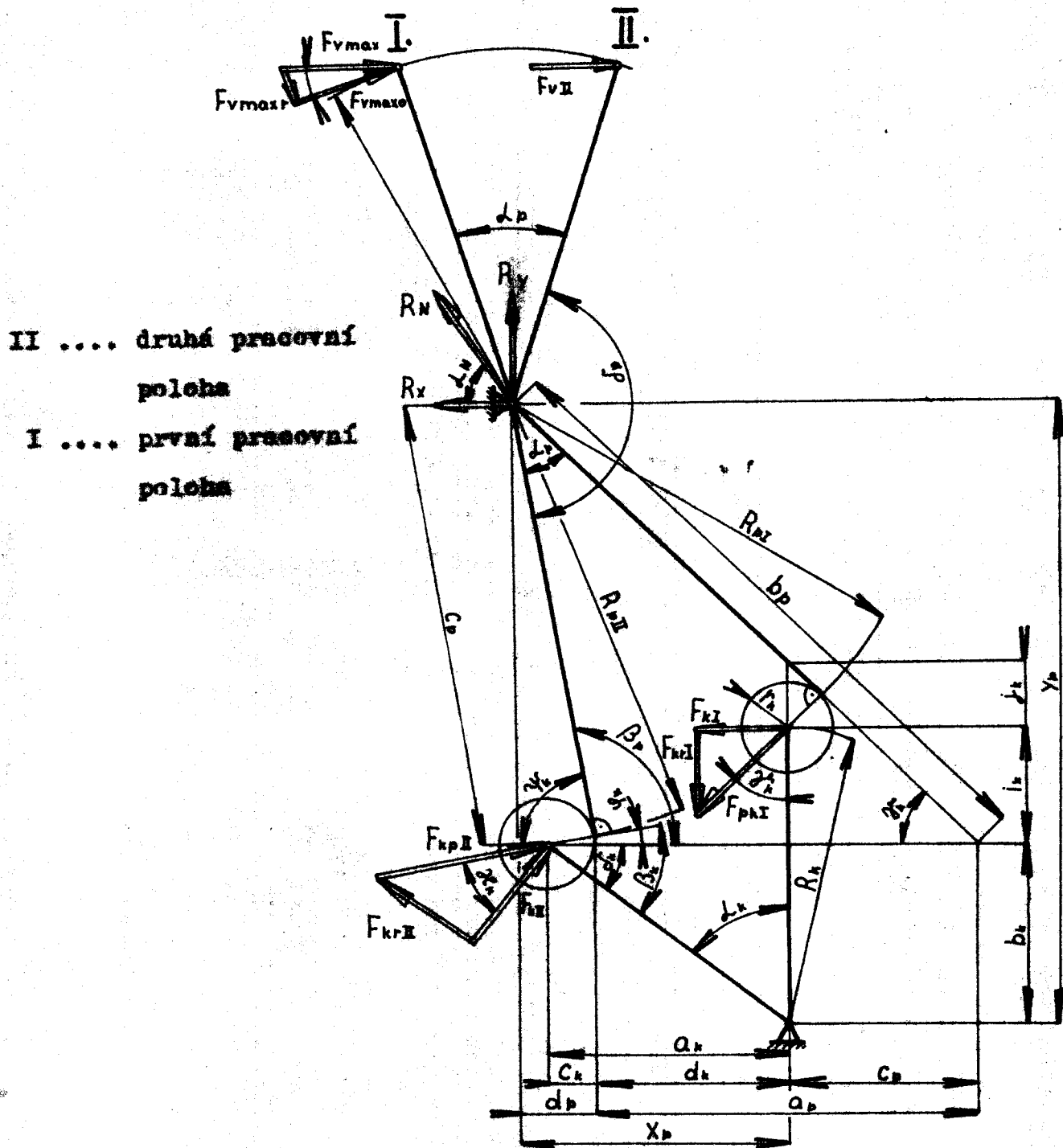
Z těchto důvodů je varianta č. 3 použita pro rekonstrukci I. stanice karuselového lisu KL - 1.

3.

### Výpočet ovládacího mechanismu klapáček v I. polohě

3.1.

Výpočet rozdílů otvírací síly a síl působících od  
síreny pro obě možnosti.



II .... druhá pracovní  
poloha

I .... první pracovní  
poloha

obr. 11 Ovládací páka v první a druhé pracovní  
poloze

Transformační cílový úhel v III. pracovní poloze je velení  $\chi_k = 45^\circ$   
a v I. pracovní poloze  $\chi_k = 45^\circ$ .

Z těchto vedených podmínek a s rozdílkou klapotky jsou pořízeny  
geometrické rozměry pály.

$$\sigma_k = \pi/2 - \vartheta_k = \pi/2 - 52^\circ = 38^\circ$$

$$\beta_k = \pi/2 - \varphi_k = \pi/2 - 42^\circ = 48^\circ$$

$$\gamma_k = \beta_k - \sigma_k = 48^\circ - 38^\circ = 10^\circ$$

$$a_k = \sin \vartheta_k \cdot R_k = \sin 52^\circ \cdot 100 = 78,8 \text{ mm}$$

$$c_k = r_k \cdot \cos \gamma_k^{-1} = 16 \cdot \cos 10^\circ = 16,2 \text{ mm}$$

$$d_k = a_k - c_k = 78,8 - 16,2 = 62,6 \text{ mm}$$

$$b_k = \cos \vartheta_k \cdot R_k = \cos 52^\circ \cdot 100 = 61,6 \text{ mm}$$

$$i_k = R_k - b_k = 100 - 61,6 = 38,4 \text{ mm}$$

$$j_k = r_k \cdot \sin \gamma_k^{-1} = 16 \cdot \sin 45^\circ = 22,6 \text{ mm}$$

$$e_p = i_k + j_k = 38,4 + 22,6 = 61 \text{ mm}$$

$$a_p = e_p + d_k = 61 + 62,6 = 123,6 \text{ mm}$$

$$b_p = a_p \cdot \sin \beta_p \cdot \sin \vartheta_p^{-1} = 123,6 \cdot \sin 100^\circ \cdot \sin 35^\circ = 212,3 \text{ mm}$$

$$c_p = a_p \cdot \sin \gamma_k \cdot \sin \vartheta_p^{-1} = 123,6 \cdot \sin 45^\circ \cdot \sin 35^\circ = 152,4 \text{ mm}$$

$$\psi_k = \pi/2 - \varphi_k = \pi/2 - 10^\circ = 80^\circ$$

$$d_p = \cos \psi_k \cdot c_p = \cos 80^\circ \cdot 152,4 = 26,5 \text{ mm}$$

$$x_p = d_k + d_p = 62,6 + 26,5 = 89,1 \text{ mm}$$

$$y_p = b_k + b_p \cdot \sin \gamma_k = 61,6 + 212,3 \cdot \sin 45^\circ = 211,7 \text{ mm}$$

$$\beta_p = \pi - \psi_k = \pi - 80^\circ = 100^\circ$$

$$\vartheta_p = \pi/2 - \beta_p - \gamma_k = \pi/2 - 100^\circ - 45^\circ = 35^\circ$$

$$\sigma_p = \vartheta_p/2 + \gamma_k + \pi/2 = 35^\circ/2 + 45^\circ + \pi/2 = 152,5^\circ$$

$$R_{pII} = c_p - r_k \cdot \tan \varphi_k = 152,4 - 16 \cdot \tan 10^\circ = 149,6 \text{ mm}$$

$$R_{pI} = b_p + r_k - (j_k + i_k) \cdot \sin \gamma_k^{-1} = 212,3 + 16 - (22,6 + 38,4) \cdot \sin 45^\circ = 142 \text{ mm}$$

**3.2. Výpočet sil v řadě volných potřebných pro přesné určení  
průřezu klapadly.**

Parametry ohružného průřezu klapadla:

Přímá: průřez - vnitřní 70,1 mm  
- střední 63 mm  
- vnější 55,9 mm

vodicího trnu 52 mm

drátmu 7,1 mm

Délka drátu 2 000 mm

Počet svitků 9,5

Svazek vlnutí levý

Material 14 260.80

Předpětí  $\omega_1 = 82,25$   $G_{01} = 608 \text{ MPa}$   $M_{t1} = 19,6 \text{ Nm}$

I. prac. poloha  $\omega_2 = 90,25$   $G_{02} = 667,6 \text{ MPa}$   $M_{t2} = 21,52 \text{ Nm}$

Maxipoloha  $\omega_m = 100,75$   $G_{0m} = 744,8 \text{ MPa}$   $M_{tm} = 24,01 \text{ Nm}$

II. prac. poloha  $\omega_3 = 142,25$   $G_{03} = 3 052,2 \text{ MPa}$   $M_{t3} = 33,92 \text{ Nm}$

Mezní poloha  $\omega_s = 159$   $G_s = 1 176,8 \text{ MPa}$   $M_s = 37,93 \text{ Nm}$

$$F_{kI} = \frac{M_{t3}}{R_k} = \frac{33,92}{0,1} = 339,2 \text{ N}$$

$$F_{kpII} = \frac{F_{kI}}{\cos \alpha_k} = \frac{339,2}{\cos 42^\circ} = 456,2 \text{ N}$$

$$F_{krII} = F_{kI} \cdot \tan \alpha_k = 339,2 \cdot \tan 42^\circ = 305,4 \text{ N}$$

$$F_{rII} = \frac{F_{kpII} \cdot R_{pk}}{r_p \cdot \cos d_p / 2} = \frac{456,2 \cdot 0,1496}{0,12 \cdot \cos 35^\circ 2} = 596,3 \text{ N}$$

$$R_y = F_{kpI} = 604,1 \text{ N}$$

$$R_x = F_{rmax} + F_{kI} = 1060 + 604,1 = 1664,1 \text{ N}$$

$$R_N = \sqrt{R_x^2 + R_y^2} = \sqrt{1664,1^2 + 604,1^2} = 1770,4 \text{ N}$$

$$\tan \alpha_N = \frac{R_y}{R_x} = \frac{604,1}{1664,1} \Rightarrow \alpha_N = 19,95^\circ$$

z výrobku tv. Punto Rossmatic je zvolen součinný pohon pomocných  
válců o Ø 50 mm a síle pro tlak 0,6 MPa 1 060 N.  
Válec je volen o větší pracovní sílu než je potřebná síla k  
překonání odpružení struny klapečky a ohledem na nutnost  
překonání sil pohybujících se hmotnosti klapečky, tvárnice a  
otvíracího mechanismu, které nelze počítat vzhodně podchytit a  
s ohledem na zamezení určité sílové rezervy.

### 3.3. Výpočet sil při zablokování klapečky v I. pracovní poloze.

~~Výpočet sil při zablokování klapečky v I. pracovní poloze~~

$$F_{\text{max}} = 1 060 \text{ N}$$

$$F_{\text{pkz}} = \frac{F_{\text{max}} \cdot r_p \cdot \cos \alpha_p / 2}{R_{\text{PI}}} = \frac{1060 \cdot 0,12 \cdot \cos 35^\circ / 2}{0,142} = 854,3 \text{ N}$$

$$F_{\text{kPI}} = F_{\text{kI}} = \sin \gamma_k \cdot F_{\text{pkz}} = \sin 45^\circ \cdot 854,3 = 604,1 \text{ N}$$

$$F_{\text{vmaxo}} = F_{\text{vmax}} \cdot \cos \alpha_p / 2 = 1060 \cdot \cos 35^\circ / 2 = 1011 \text{ N}$$

$$F_{\text{vmaxr}} = F_{\text{vmax}} \cdot \sin \alpha_p / 2 = 1060 \cdot \sin 35^\circ / 2 = 318,7 \text{ N}$$

### 3.4. Vypočet délky zdvihu písta a sil v mezipozici.

$$a_n = R_k \cdot \sin \gamma_n = 0,1 \cdot \sin 10,5^\circ = 18,2 \text{ mm}$$

$$b_n = R_k \cdot \cos \gamma_n = 0,1 \cdot \cos 10,5^\circ = 98,3 \text{ mm}$$

$$\tan \angle_n = \frac{y_p - R_k}{x_p} = \frac{211,7 - 100}{89,1} \Rightarrow \angle_n = 51,4^\circ$$

$$\tan \beta_n = \frac{y_p - b_n}{x_p - a_n} = \frac{211,7 - 98,3}{89,1 - 18,2} \Rightarrow \beta_n = 58^\circ$$

$$\sigma_n = \beta_n - \angle_n = 58^\circ - 51,4^\circ = 6,6^\circ$$

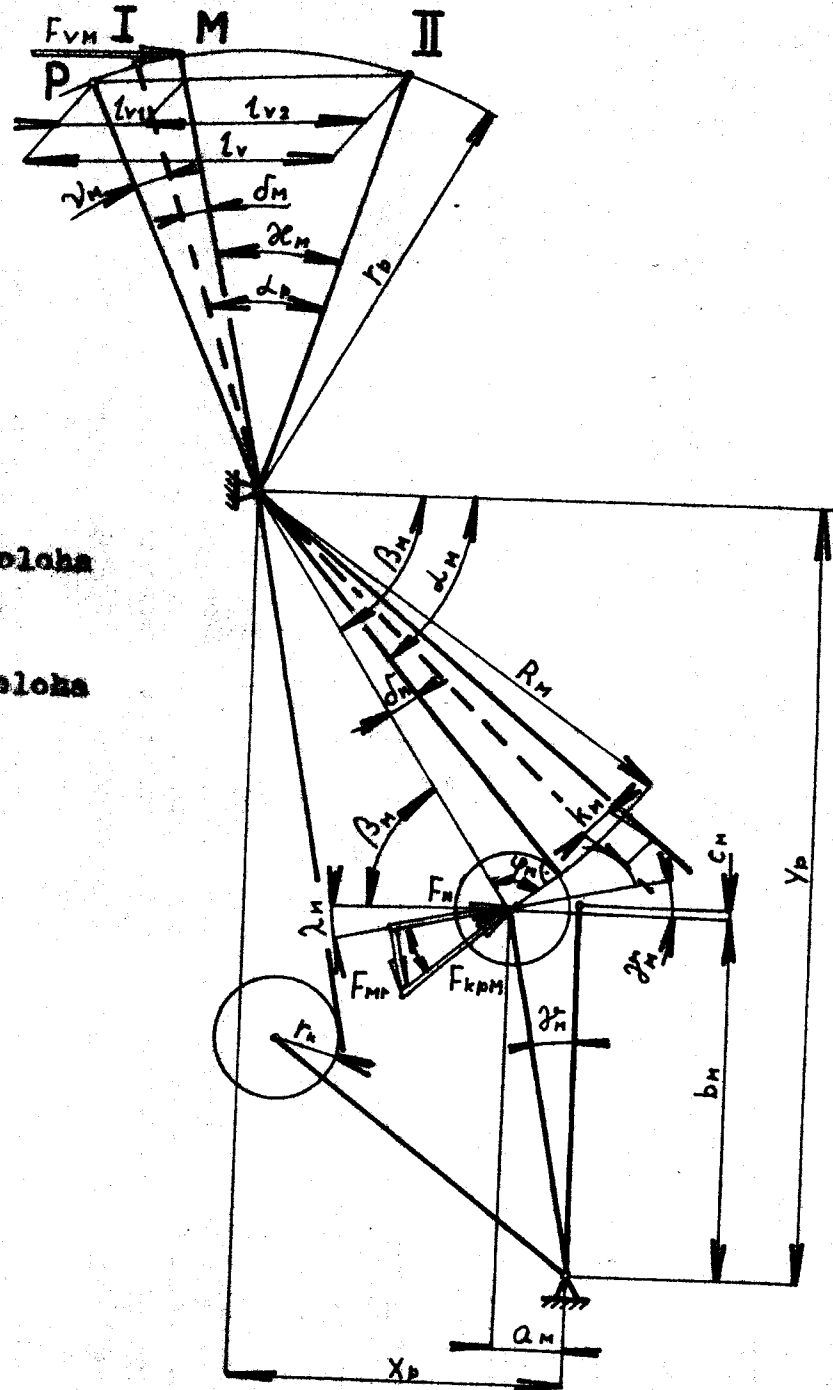
$$R_n = r_k \cdot \tan \sigma_n = 16 \cdot \tan 6,6^\circ = 138,3 \text{ mm}$$

$$\psi_n = \pi / 2 - \sigma_n = \pi / 2 - 6,6^\circ = 83,4^\circ$$

$$\varphi_n = \pi - \gamma_n - \psi_n - \beta_n = \pi - 10,5^\circ - 83,4^\circ - 58^\circ = 28,1^\circ$$

$$R_n = r_k \cdot \tan \sigma_n = 16 \cdot \tan 6,6^\circ = 138,5 \text{ mm}$$

P .... počáteční poloha  
 I .... první pracovní poloha  
 M .... mezipoloha  
 II .... druhá pracovní poloha



obr. 12 Ovládací páka v počáteční, první, druhé polohě a v mezipoloze.

Pro zajištění polohy tvrdnice nad kapekou v mezipoloze je volena tolerance úhlu mezi polohou  $\beta_2 - 5^\circ$ .

$$l_{v1} = 2 \cdot r_p \cdot \sin \frac{\gamma_h - \delta_h}{2} = 2 \cdot 120 \cdot \sin \frac{2,96^\circ - 6,6}{2} = 20 \text{ mm}$$

$$l_{v2} = 2 \cdot r_p \cdot \sin \alpha_p / 2 = 2 \cdot 120 \cdot \sin 28,4^\circ / 2 = 58,9 \text{ mm}$$

$$\alpha_p = \alpha_p - \delta_h = 35^\circ - 6,6 = 28,4^\circ$$

úhel pro oddílení spodní páky od klapskéky do původní polohy je uveden  $\gamma_h = 2,96^\circ$ .

$$k_h = R_{pr} \cdot \sin \gamma_h = 142 \cdot \sin 2,96^\circ = 7,3 \text{ mm}$$

Dle **P VII**,  $l_{v1} + l_{v2}$  je navržen z katalogu Pisto Pneumatic vícopolohový válci typ DPC - 30 - 20/60 PPV o Ø 50 mm, délce zdvihu 30 + 60 mm s tlumecím koncovým poloh.

Vypočet sil v uszipeleze,

$$F_M = \frac{M_{tM}}{R_k} = \frac{24,01}{0,1} = 240,1 \text{ N}$$

$$F_{kPM} = \frac{F_M}{\cos \varphi_M} = \frac{240,1}{\cos 28,1^\circ} = 272,2 \text{ N}$$

$$F_{nr} = F_M \cdot \tan \varphi_M = 240,1 \cdot \tan 28,1^\circ = 128,2 \text{ N}$$

$$F_{VM} = \frac{F_{kPM} \cdot R_h}{r_p \cdot \cos(\alpha_p/2 - \delta_h)} = \frac{272,2 \cdot 0,1383}{0,120 \cdot \cos(35^\circ/2 - 6,6^\circ)} = 319,5 \text{ N}$$

Pro udržení klapskéky v uszipeleze stačí zredukovat tlak z 0,6 MPa na 0,2 MPa, čímž bude vyvzena síla 350 N. Tím se zabezpečí, že jednotlivé mechanizmy nebudou nadbytečně namáhaný.

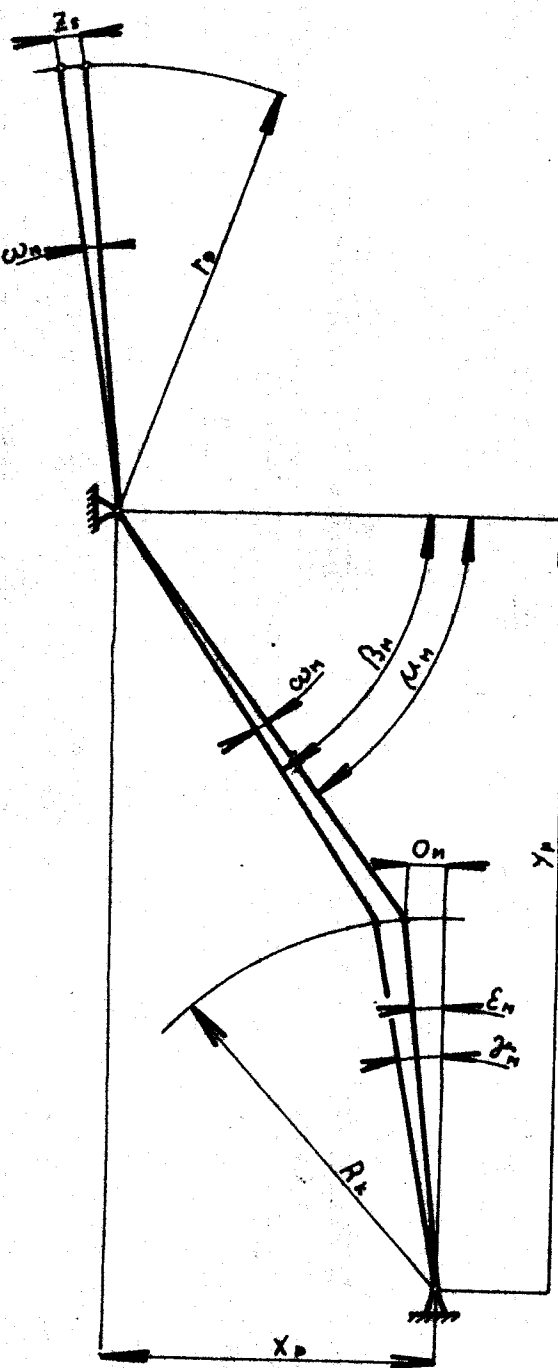
### 3.5. Kontrola pistnice na výšku.

Dle diagramu z katalogu **Fy** Pisto Pneumatic je maximální délka pistnice funkce průměru pistnice a maximální síly.

Pro příklad pistnice 25 mm a  $F_{VMmax} = 1060 \text{ N}$  je maximální délka 1 200 mm. Bezručné délky pistnice vyhovuje, protože  $l_v < 1200 \text{ mm}$ .

## 3.6.

Výpočet potřebného výsunutí šroubové sponky volce pro zadání otáčení polohy horní poleviny tvárnice nad kápou.



obr. 13 Otvírací páka v mesipoloze

$$\operatorname{tg} \mu_n = \frac{y_p - R_k}{x_p - R_k \operatorname{tg} \alpha_n} = \frac{211.7 - 100}{89.1 - 100 \operatorname{tg} 5.5^\circ} \Rightarrow \mu_n 54.6^\circ$$

$$Z_s = 2 \cdot r_p \cdot \sin(\beta_n - \mu_n) / 2 = 2 \cdot 120 \cdot \sin(58^\circ - 54.6^\circ) / 2 = 7.2 \text{ mm}$$

Šroubová spojka má na straně válce první závit s stoupáním 1,5 mm, na straně páky levý závit s stoupáním 1,5 mm.

Šroubová spojka umožní snadné vzdálené položení páky a válce v rozmezí 8 mm a tím je možno regulovat polohu horní palivové tvárnice nad kapotou.

### 3.7. Pernostní kontrola silově namáhaných součástí otevíracího mechanismu klapošek.

Součásti jsou kontrolovány na statickou únosnost s vychílení se při tom ze sil namáhajících mechanismus při zablokování klapošky v I. pracovní poloze.

S ohledem na silový rám při zablokování mechanismu jsou všechny silové účinky násobeny koeficientem  $k_d = 1,2$  zahrnující vliv dynamických sil.

#### 3.7.1. Kontrola otáčecího hřídele pák.

Výpočet reakcí:

$$T_{Ax} = k_d \cdot \frac{F_{vmax} \cdot (C_h + C_n) - F_{KI} \cdot C_h}{a_n} = 12 \cdot \frac{1060 \cdot (28+35) - 604,1 \cdot 28}{35} = 1709,7 \text{ N}$$

$$T_{Ay} = k_d \cdot (F_{vmax} + F_{KI}) - T_{Ax} = 1,2 \cdot (1060 + 604,1) - 1709,7 = 287,3 \text{ N}$$

$$T_{Ar} = k_d \cdot \frac{F_{KRI} \cdot (a_n + C_h)}{a_n} = 12 \cdot \frac{604,1 \cdot (35+28)}{35} = 1304,9 \text{ N}$$

$$T_{Ay} = k_d \cdot F_{KRI} - T_{Ar} = 1,2 \cdot 604,1 - 1304,9 = -580 \text{ N}$$

$$T_A = \sqrt{T_{Ax}^2 + T_{Ay}^2} = \sqrt{1709,7^2 + (-580)^2} = 1805,4 \text{ N}$$

$$T_B = \sqrt{T_{Ax}^2 + T_{Ar}^2} = \sqrt{287,3^2 + 1304,9^2} = 1336,2 \text{ N}$$

Materiál hřídele 11 500 • 6 • = 260 MPa

$$\sigma_{00} = \frac{G_k}{k_b} = \frac{260}{2} = 130 \text{ MPa}$$

### Kontrola v místě C :

$$\sigma_{oc} = \frac{M_{oc}}{W_{oc}} = \frac{12,7}{1,275 \cdot 10^{-6}} = 9,96 \text{ MPa}$$

$$\tau_c = \frac{M_{kh}}{W_{kh}} = \frac{145}{2,81 \cdot 10^{-6}} = 51,6 \text{ MPa}$$

$$\sigma_{redc} = \sqrt{\sigma_{oc}^2 + k_c \tau_c^2} = \sqrt{9,96^2 + 4 \cdot 51,6^2} = 103,7 \text{ MPa}$$

$\sigma_{redc} < \sigma_{do}$  ..... průřez C vyhovuje.

Pro Mohrova hypotézu je  $k_1 = 4$

Průřezové moduly pro kruhový průřez s drážkou jsou využity z tabulkového na str. 484 knihy autora : E.Pöšina, P.Reif, P.Valenta - "Sbírka příkladů z mechaniky a povrchového zpracování".

Pro průměr  $d_h = 25 \text{ mm}$  a drážku  $b \times h = 6 \times 7 \text{ je :}$

$$W_{oc} = 1,275 \cdot 10^{-6} \text{ m}^3 \quad W_{kh} = 2,81 \cdot 10^{-6} \text{ m}^3$$

### Kontrola v místě A :

$$\sigma_{oA} = \frac{M_{oA}}{W_{oA}} = \frac{35,6}{1,5 \cdot 10^{-6}} = 23,2 \text{ MPa}$$

$$\tau_A = \frac{M_{kh}}{W_{kh}} = \frac{145}{5,3 \cdot 10^{-6}} = 47,3 \text{ MPa}$$

$$W_{oA} = \frac{\pi \cdot d_h^3}{32} = \frac{\pi \cdot 0,025^3}{32} = 1,5 \cdot 10^{-6} \text{ m}^3$$

$$W_{kh} = \frac{\pi \cdot d_h^3}{16} = \frac{\pi \cdot 0,025^3}{16} = 5,3 \cdot 10^{-6} \text{ m}^3$$

Pro Mohrova hypotézu je redukované napětí :

$$\sigma_{redA} = \sqrt{\sigma_{oA}^2 + 4 \cdot \tau_A^2} = \sqrt{23,2^2 + 4 \cdot 47,3^2} = 97,3 \text{ MPa}$$

$\sigma_{redA} < \sigma_{do}$  ..... průřez A vyhovuje.

Výpočet momentů :

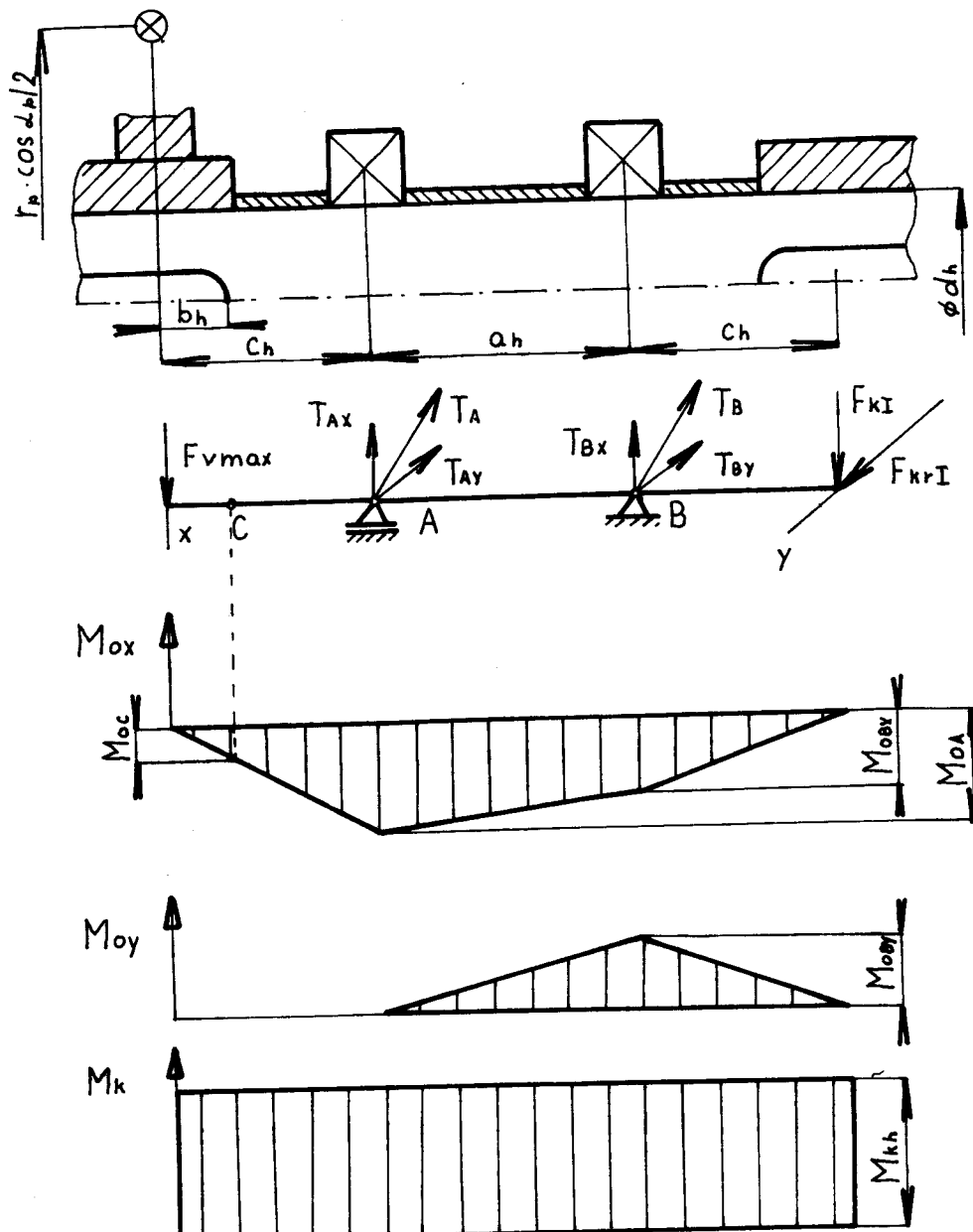
$$M_{OA} = k_d \cdot F_{vmax} \cdot c_h = 1,2 \cdot 1060 \cdot 0,028 = 35,6 \text{ Nm}$$

$$M_{OBx} = M_{OBy} = k_d \cdot F_{KI} \cdot c_h = 1,2 \cdot 604,1 \cdot 0,028 = 20,3 \text{ Nm}$$

$$M_{OB} = M_{OBx}\sqrt{2} = 20,3\sqrt{2} = 28,7 \text{ Nm}$$

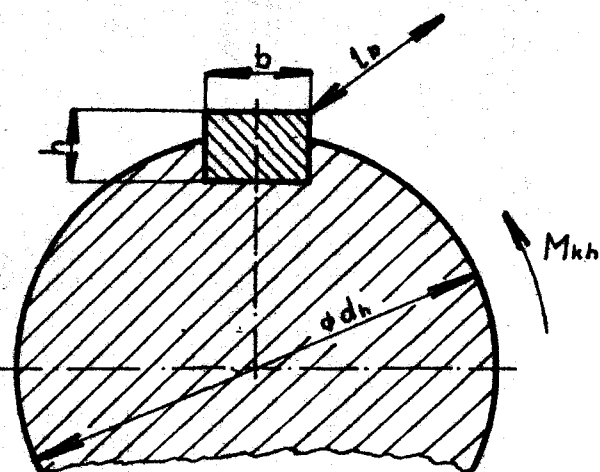
$$M_{OC} = k_d \cdot F_{vmax} \cdot b_h = 1,2 \cdot 1060 \cdot 0,01 = 12,7 \text{ Nm}$$

$$M_{Kh} = k_d \cdot F_{vmax} \cdot r_p \cdot \cos \alpha_p / 2 = 1,2 \cdot 1060 \cdot 0,12 \cdot \cos 35/2 = 145 \text{ Nm}$$



obr. 14 Hřídel otvírací páky

### 3.7.2. Výpočet délky pero.



obr. 15 Pero otočného hřídele

$$l'_p = \frac{4 \cdot M_{kh}}{\rho_{ov} \cdot h \cdot d_h} = \frac{4 \cdot 145}{120 \cdot 10^3 \cdot 0.007 \cdot 0.025} = 0,0276 \text{ m}$$

$$l_p = l'_p + b = 27,6 + 8 = 35,6 \text{ mm}$$

Márný tlak pro záboj a hřídel a osvětla a pro záboj se počítají

je  $p_{pot} = 120 \text{ MPa}$ .

Je zvoleno normalizované pero těsné s označením:

Perlo Be7 x 7 x 36 ČSN 02 2562.

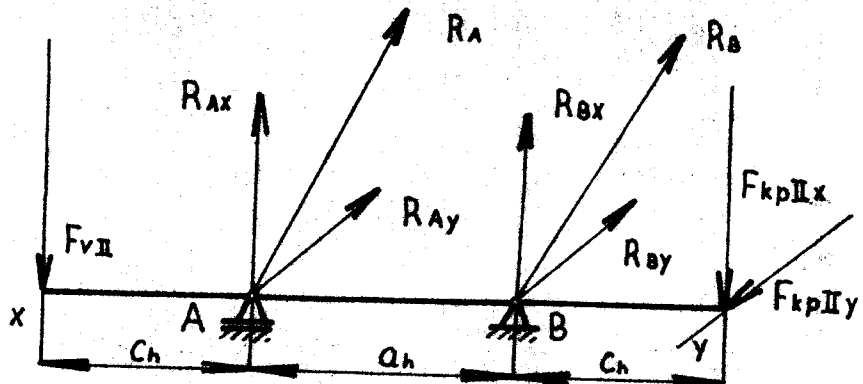
### 3.7.3. Výpočet valivých ležisek hřídele.

Dynamická únavosnost ležiska.

Při výpočtu dynamické únavnosti ležiska je uvažována provozní síla válce  $F_{VII}$ .

Ležisko musí být v provozu minimálně po dobu tří let. V roce je 320 pracovních dní a provoz nepřetržitý. Stroj výkonem 11 cyklů za min..

Počet pracovních hodin bude tedy 23 040 a na tuto dobu výkon stroj 15 206 400 cyklů.



obr. 16 Reakce v ležiakách A a B

Síla  $F_{kpII}$  je transformována do osy x a y.

Vypočet reakcí v bodech A a B.

$$F_{kpIIy} = \sin \varphi_k \cdot F_{kpII} - \sin 10^\circ \cdot 456,2 = 79,2 \text{ N}$$

$$F_{kpIIX} = \cos \varphi_k \cdot F_{kpII} - \cos 10^\circ \cdot 456,2 = 449,3 \text{ N}$$

$$R_{Ax} = \frac{F_{vII}(c_h + a_h) - F_{kpIIx} \cdot c_h}{a_h} = \frac{596,3(28+35) - 449,3 \cdot 28}{35} = 713,9 \text{ N}$$

$$R_{Ay} = \frac{F_{kpIiy}(a_h + c_h)}{a_h} = \frac{79,2(35+28)}{35} = 142,6 \text{ N}$$

$$R_{Bx} = F_{vII} + F_{kpIIX} - R_{Ax} = 596,3 + 449,3 - 713,9 = 331,7 \text{ N}$$

$$R_{By} = F_{kpIiy} - R_{Ay} = 79,2 - 142,6 = -63,4 \text{ N}$$

$$R_A = \sqrt{R_{Ax}^2 + R_{Ay}^2} = \sqrt{713,9^2 + (-63,4)^2} = 716,7 \text{ N}$$

$$R_B = \sqrt{R_{Bx}^2 + R_{By}^2} = \sqrt{331,7^2 + 142,6^2} = 361,1 \text{ N}$$

Ležiak kypre v rovnině  $\lambda_p + \nu_m = 38^\circ$ .

Převodí se následně myšlenka rotace s otáčkou se berou rovný počtu cyklů na ní.

$$F_{SA} = R_A \sqrt{\frac{\lambda_p + \nu_m}{180^\circ}} = 716,7 \sqrt{\frac{35+3}{180^\circ}} = 426,8 \text{ N}$$

$$F_{SB} = R_B \sqrt{\frac{\lambda_p + \nu_m}{180^\circ}} = 361,1 \sqrt{\frac{35+3}{180^\circ}} = 215 \text{ N}$$

Jsem zvoleny dvě inženýry o názvem: Ložisko 16 005

Cm 02 4630 . C = 5 500 N C<sub>o</sub> = 3 650 N .

$$L_{hA} = \left( \frac{C}{F_{SA}} \right)^m \cdot \frac{16\ 666}{n} = \left( \frac{5\ 500}{426,8} \right)^3 \cdot \frac{16\ 666}{11} = 3\ 243\ 422 \text{ hod}$$

$$L_{hB} = \left( \frac{C}{F_{SB}} \right)^m \cdot \frac{16\ 666}{n} = \left( \frac{5\ 500}{215} \right)^3 \cdot \frac{16\ 666}{11} = 25\ 380\ 143 \text{ hod}$$

m = 3 ..... pro normalizované kuličkové radiální ložisko.

n = 11 l/min.

#### Statická únavnost ložiska.

Statická únavnost je počítání s maximální silou a to je při maximální klapačce v I. pracovní poloze.

$$\mu_A = C_o / T_A = 3\ 650 / 1\ 805,4 = 2,02$$

$$\mu_B = C_o / T_B = 3\ 650 / 1\ 336,2 = 2,73$$

Majetkový přípustný součinitel bezpečnosti pro různovztažení a klidný chod je  $\mu = 2$ .

Z dynamické a statické kontroly ložisek vychází, že zvolené ložisko vyhovuje, protože hodnoty C, C<sub>o</sub> jsou větší než požadované.

#### 3.7.4. Výpočet pák otvíracího mechanismu.

Svary a průšwy jednotlivých pák jsou navrženy dle maximálních sil při antlokacemi.

Páky jsou vyrobeny z materiálu II 373.

#### Páka klapačky.

Kontrola svaru.

Svar je namáhán záporným napětím

$$\tau_{10} = \frac{kd \cdot F_{phI}}{1.4 \cdot t_0 \cdot b_0} = \frac{12 \cdot 854,1}{1.4 \cdot 0,005 \cdot 0,038} = 3,9 \cdot 10^6 \text{ Pa}$$

**a ohýbovým napětím.**

$$\tau_{20} = \frac{kd \cdot G \cdot F_{phI} \cdot (R_{pr}-n_p)}{1.4 \cdot t_0 \cdot b_0^2} = \frac{12 \cdot 6 \cdot 854,1 \cdot (0,142 - 0,023)}{1.4 \cdot 0,005 \cdot 0,038^2} = 72,4 \cdot 10^6 \text{ Pa}$$

**Výsledné napětí**

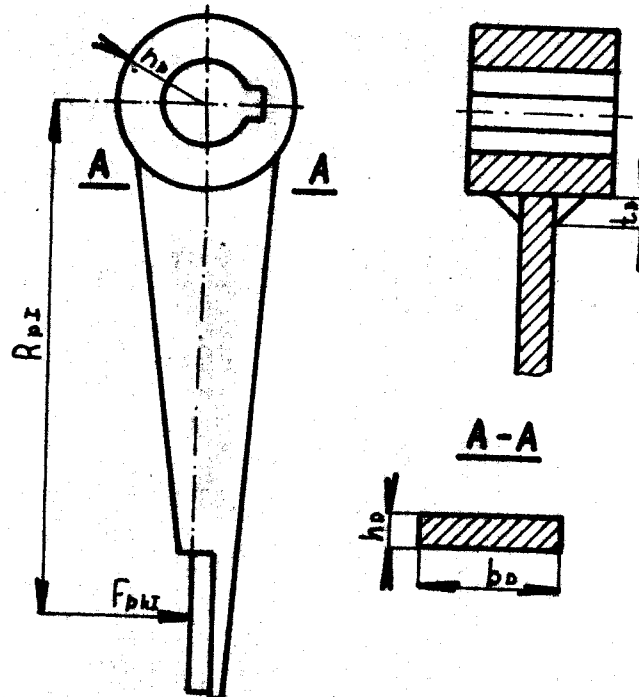
$$\tau_{red0} = \sqrt{\tau_{10}^2 + \tau_{20}^2} = \sqrt{3,9^2 + 72,4^2} = 72,5 \text{ MPa}$$

Pro materiál 11 373 je  $G_k = 340 \text{ MPa}$ ,  $G_{00} = 120 \text{ MPa}$

$$\tau_{DS} = 0,65 \cdot G_{00} = 0,65 \cdot 120 = 78 \text{ MPa}$$

$\tau_{red0} < \tau_{DS}$  ..... svařený svar vyhovuje.

Délka svaru  $b_0$  je určena jeho přemístění svaru do rovinu rovnoběžné s plochou silem.



obr. 17 Páka klapečky

Kontrola průtoku pály A - A.

Průtok je součinem angulárního napětí

$$T_0 = \frac{k_d \cdot F_{okz}}{b_0 \cdot h_0} = \frac{1,2 \cdot 854,1}{0,038 \cdot 0,008} = 3,4 \cdot 10^6 \text{ Pa}$$

a ohýbavého napětí

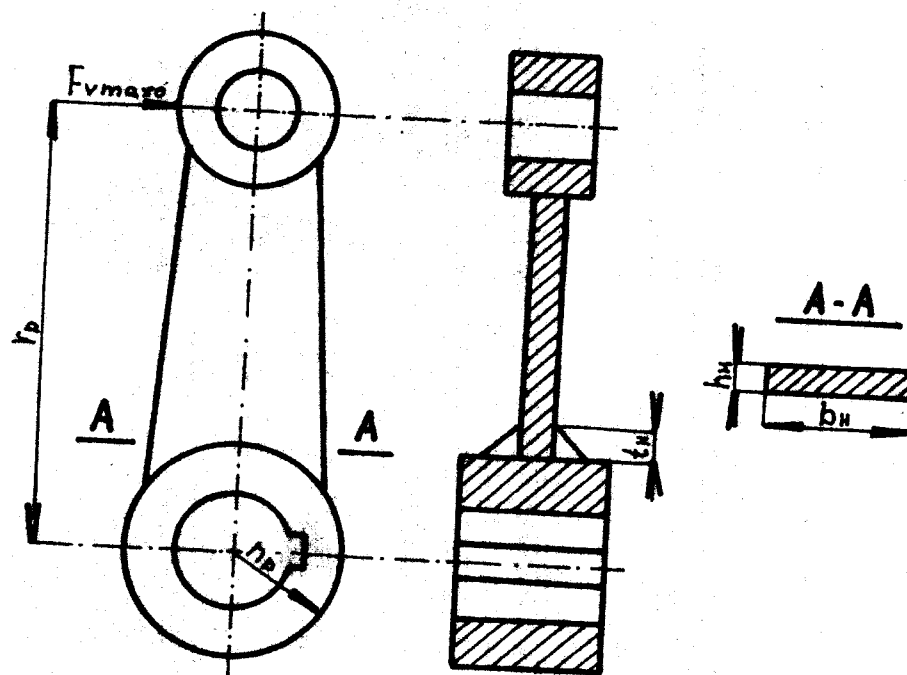
$$G_{00} = \frac{6 \cdot k_d \cdot F_{okz} \cdot (R_{ox} - r_p)}{h_0 \cdot b_0^2} = \frac{6 \cdot 1,2 \cdot 854,1 (0,142 - 0,023)}{0,008 \cdot 0,038^2} = 63,4 \cdot 10^6 \text{ Pa}$$

Pro Mohrovu hypotézu je redukované napětí:

$$\sigma_{red0} = \sqrt{G_{00}^2 + 4 \cdot T_0^2} = \sqrt{63,4^2 + 4 \cdot 3,4^2} = 63,3 \text{ MPa}$$

$\sigma_{red0} < G_{00}$  ..... podíl paly A - A vyhovuje.

Příklad pistu.



obr. 10. Příklad pistu

Na palu pistu působí síla  $F_{výkonu}$  a  $F_{výstupu}$ .

Budíální síla  $F_{vmax}$  způsobuje tlakové napětí, které vznikne když konstanta je nezávadná.

Kontrola svaru.

Svar je namáhaný smyčkovým napětím

$$\tau_{1H} = \frac{kd \cdot F_{vmax}}{1.4 \cdot t_H \cdot b_H} = \frac{12 \cdot 1011}{1.4 \cdot 0.005 \cdot 0.038} = 4.710^6 \text{ Pa}$$

a ohýbovým napětím.

$$\tau_{2H} = \frac{6 \cdot kd \cdot F_{vmax} (r_p - h_p)}{1.4 \cdot b_H^2 \cdot t_H} = \frac{6 \cdot 1.2 \cdot 1011 \cdot (0.12 - 0.023)}{1.4 \cdot 0.038^2 \cdot 0.005} = 73.810^6 \text{ Pa}$$

Výsledné napětí

$$\tau_{redH} = \sqrt{\tau_{1H}^2 + \tau_{2H}^2} = \sqrt{4.7^2 + 73.8^2} = 73.8 \text{ MPa}$$

$\tau_{redH} < \tau_{os}$  ..... svar vyhovuje.

Délka svaru  $b_H$  byla vypsána jako průměr svaru do reviny rovnoběžné s přesabici silou.

Kontrola průřezu A - A.

Průřez je namáhaný smyčkovým napětím

$$\tau_H = \frac{kd \cdot F_{vmax}}{b_H \cdot h_H} = \frac{12 \cdot 1011}{0.038 \cdot 0.008} = 4.1 \text{ MPa}$$

a ohýbovým napětím

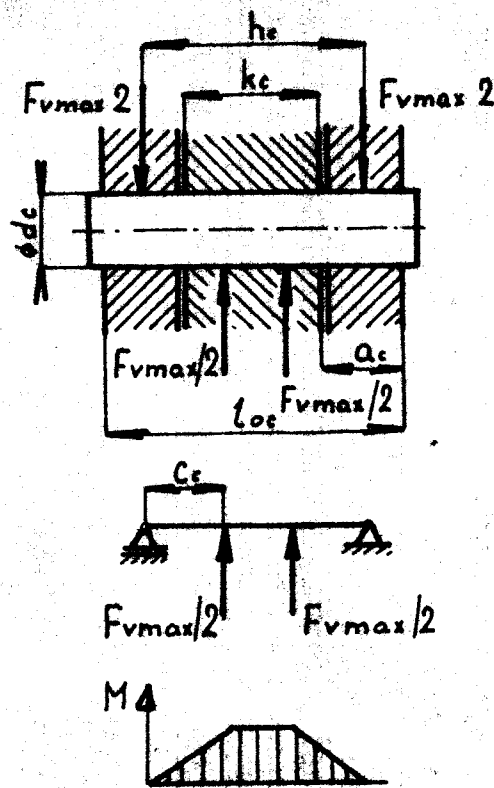
$$\sigma_{0H} = \frac{6 \cdot kd \cdot F_{vmax} (r_p - h_p)}{b_H^2 \cdot h_H} = \frac{6 \cdot 1.2 \cdot 1011 \cdot (0.12 - 0.023)}{0.038^2 \cdot 0.008} = 64.510^6 \text{ Pa}$$

Pro Mohrovu hypotézu je redukované napětí:

$$\sigma_{redH} = \sqrt{\sigma_{0H}^2 + 4 \cdot \tau_H^2} = \sqrt{64.5^2 + 4 \cdot 4.1^2} = 65 \text{ MPa}$$

$\sigma_{redH} = \sigma_{00}$  ..... průřez A - A vyhovuje

### 3.7.5. Výpočet řepa řady a základní pistnice.



obr. 19 Čep páky a základní pistnice

Kontrola čepu na oky.

$$\sigma_{oc} = \frac{32 \cdot k_d \cdot F_{vmax} \cdot C_c}{2 \cdot \pi \cdot d_c^3} = \frac{32 \cdot 1.2 \cdot 1060 \cdot 0.011}{2 \cdot \pi \cdot 0.01^3} = 71,310 \text{ Pa}$$

Pro materiál čepu 11 600 je  $\sigma_{oc} = 150 \text{ MPa}$ .

$\sigma_{oc} < \sigma_{oo}$  ..... nevršený čepa vyhovuje.

Kontrola čepu na průklyp.

Průklyp čepu nesmí překročit větší čepu v ojnicí.

Pro učení čepu a klouzadlo ledvin je stanovena pravděpodobnost výskytu  $10 \cdot 10^{-6} \text{ m}$ .

$$J_c = \pi \cdot d_c^4 / 64 = \pi \cdot 0.01^4 / 64 = 4.9 \cdot 10^{-10} \text{ m}^4$$

$$W_{max,c} = \frac{k_d \cdot F_{vmax} \cdot C_c}{2 \cdot 24 \cdot E \cdot J_c} \cdot (3 \cdot l_c^2 - 4 \cdot r_c^2) = \frac{1.2 \cdot 1060 \cdot 0.011}{2 \cdot 24 \cdot 2.1 \cdot 10^{11} \cdot 4.9 \cdot 10^{-10}} \cdot (3 \cdot 0.031^2 - 4 \cdot 0.011^2) = 6.8 \cdot 10^{-6} \text{ m}$$

Kontrola čepu a kluzného ložiska na otlačení.

Čep a kluzné ložisko jsou součástí stojanu ležíku.

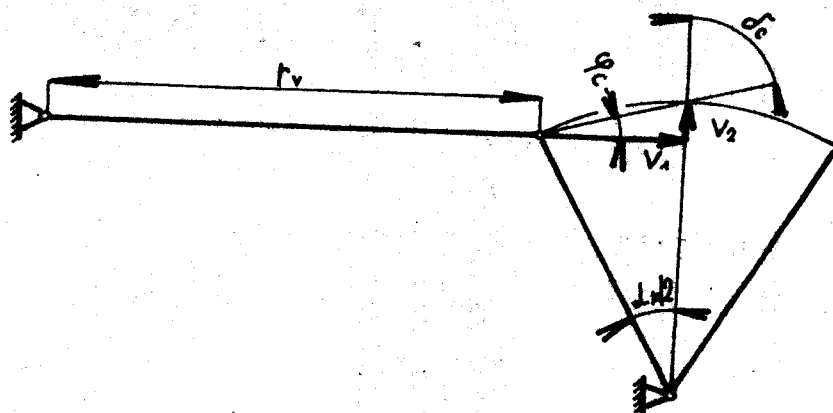
$$p_c = \frac{kd \cdot F_{vmax}}{2 \cdot d_c \cdot a_c} = \frac{12 \cdot 1060}{2 \cdot 0.01 \cdot 0.009} = 740 \text{ Pa}$$

Dovolené otlačení pro materiál : kalená ocel na ocel je 9 MPa.  
Maximální zatílení, které kluzné ložisko M - DX při dynamickém  
zatílení a jednorázovém namávání při montáži snese je 20 MPa.

### 3.7.5.1. Určení životnosti ležiska.

Při určení životnosti se vychází s obvodovou rychlosťí čepu  
a s nápravné otlačkou ležiska.

Podle soudcům těchto veličin se určí s diagramem /6/  
životnost ležiska.



obr. 20 Kinematické schéma horní píky

Průměr pracovní sila

$$F_{sv} = \frac{2}{3} F_{vII} = \frac{2}{3} 596,3 = 397 \text{ N}$$

Dle  $F_{sv}$ , průměru válce a užitých ventilů se určí s diagramem katalogu fy. Festo Pneumatic rychlosť pistole  $v_1$ .

Pro určovaný materiál 1/30° je  $\pi_3 = 100 \text{ mm}^2/\text{rad}$ .

$$v_2 = v_1 \cdot \operatorname{tg} \varphi_c = 100 \operatorname{tg} 8,75^\circ = 15,4 \text{ mm} \cdot \text{sec}^{-1}$$

$$\delta_c = \frac{180 - \lambda_c/2}{2} = \frac{180 - 35/2}{2} = 81,25^\circ$$

$$\varphi_c = \pi/2 - \delta_c = \pi/2 - 81,25 = 8,75^\circ$$

Otočová rychlosť čepu :

$$\omega_c = v_c \cdot r_c^{-1} = 15,4 \cdot 591^{-1} = 0,026 \text{ 1} \cdot \text{s}^{-1}$$

Obvodová rychlosť čepu :

$$v_c = \frac{d_c \cdot \omega_c}{2} = \frac{0,01 \cdot 0,026}{2} = 0,0001 \text{ m/s}$$

Ovlaščení kružnice ložiska při působení síly  $F_{sv}$ .

$$p_s = \frac{F_{sv}}{d_c \cdot k_c} = \frac{397}{0,01 \cdot 0,018} = 2,2 \cdot 10^6 \text{ Pa}$$

$$v_c \cdot p_s = 0,0001 \cdot 2,2 \cdot 10^6 = 2,2 \cdot 10^2 \text{ Pa} \cdot \text{m/s}$$

Pro součin  $p_s \cdot v_c = 2,2 \cdot 10^8 \text{ Pa} \cdot \text{m/s}$  je uvedena z diagramu 16/

životnost kružnice ložiska 50 000 hod.

### 3.7.6. Výpočet nosníku.

Nosník je určenec skříňovitého traru s tyče průřezu U 6 1/2 vyztužené pásy. Smykové napětí se při výpočtu zanedbává.

Nosník je v řezu A - A namísto napětí omezeným

$$\begin{aligned} \tilde{\sigma}_{ON} &= \frac{k_d \cdot F_{vmax}}{W_{ON}} + \frac{k_d \cdot F_{vmax}}{S_N} + \frac{F_d \cdot l_N}{W_{ON}} + \frac{Q_N \cdot l_N^2}{2 \cdot W_{ON}} = \\ &= \frac{1,2 \cdot 1060 \cdot 0,084}{1,3 \cdot 10^{-5}} + \frac{1,2 \cdot 1060}{1,1 \cdot 10^{-3}} + \frac{17,5 \cdot 0,47}{1,3 \cdot 10^{-5}} + \frac{99 \cdot 0,47}{1,3 \cdot 10^{-5}} = 11,1 \cdot 10^6 \text{ Pa} \end{aligned}$$

Pro materiál 10 373 je  $\tilde{\sigma}_{ON} = 110 \text{ MPa}$ .

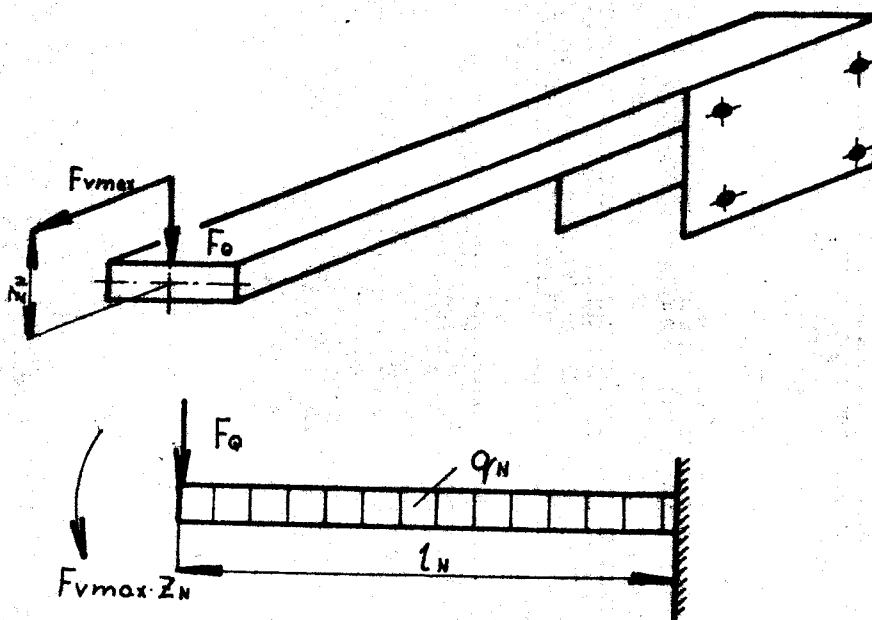
$\tilde{\sigma}_{ON} < \tilde{\sigma}_{DO}$  ..... řez A - A vyhovuje.

Vypočítat průběh plošného úvaha.

$$w_N = \frac{1}{E \cdot J_{xN}} \left( \frac{F_{vmax} \cdot z_N \cdot l_N^2}{2} + \frac{F_o \cdot l_N^3}{3} + \frac{q_N \cdot l_N^4}{8} \right) =$$

$$= \frac{1}{2 \cdot 10^{11} \cdot 2.7 \cdot 10^{-7}} \left( \frac{1060 \cdot 0.084 \cdot 0.47^2}{2} - \frac{17.5 \cdot 0.47^3}{3} - \frac{99 \cdot 0.47}{8} \right) = 0.00022 \text{ m}$$

Vypočítaný průběh lze použít, protože povolený průběh je  $l_g/750 = 0.450/750 = 0.0006 \text{ m}$  a to je větší hodnota než vypočítaný průběh  $w_N = 0.00022 \text{ m}$ .



obr. 21 Neseník

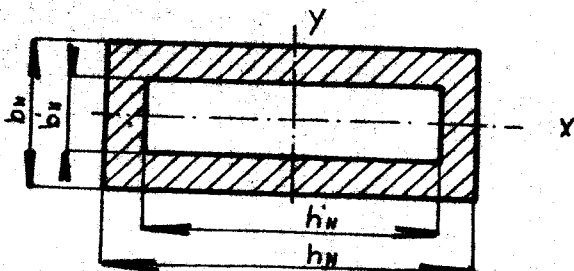
Související nosník vyhovuje povolené podmínky, protože  $G_{oN} = G_{oO}$ ,  $w_N < \frac{l_N}{750}$

Vypočítat průběhových momentů.

$$J_{xN} = \frac{b_N^3 \cdot h_N - b'_N^3 \cdot h'_N}{12} = \frac{0.042^3 \cdot 0.065 - 0.031^3 \cdot 0.054}{12} = 2.7 \cdot 10^{-7} \text{ m}^4$$

$$W_{oxN} = \frac{2 \cdot J_{xN}}{b_N} = \frac{2 \cdot 2.7 \cdot 10^{-7}}{0.042} = 1.3 \cdot 10^{-5} \text{ m}^3$$

$$S_N = b_N \cdot h_N - b'_N \cdot h'_N = 0,042 \cdot 0,065 - 0,031 \cdot 0,054 = 1,1 \cdot 10^{-3} \text{ m}^2$$



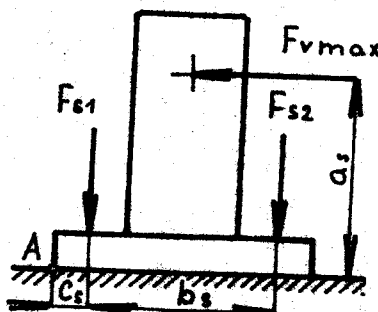
obr. 22 Průřez nosníku

Síla způsobená konstantním plošným tlakem na stejnou výšku.

$$F_0 = \frac{(G_v + 2 \cdot G_r + 4 \cdot G_s) n \cdot g}{2} = \frac{(2 + 2 \cdot 0.38 + 4 \cdot 0.04) \cdot 12 \cdot 9.81}{2} = 17.5 \text{ N}$$

### 3.7.7. Kontrola šroubu stojanu válce.

Šrouby jsou namontovány na tab. do závěsu šroub M 10. Pro materiál 11 500 je  $G_{ot} = 130 \text{ MPa}$ .



obr. 23 Stojan válce

Kontrolní šroubu na tah od ohýbavého momentu.

Momentová rovnice k bodu A.

$$kd \cdot F_{vmax} \cdot a_s = F_{s1}^2 \cdot c_s + F_{s2}^2 (c_s + b_s)$$

$$\frac{F_{s2}^z}{F_{s2}} = \frac{c_s}{c_s + b_s}$$

$$F_{s2}^z = \frac{k_d \cdot F_{vmax} \cdot a_s}{\frac{c_s^2}{c_s + b_s} + c_s + b_s} = \frac{1.2 \cdot 1060 \cdot 58}{\frac{13^2}{13+80} + 13 + 80} = 778,1 \text{ N}$$

**Závěšení šroubu na tali od působející síly.**

$$F_{s2}^x = \frac{k_d \cdot k_p \cdot F_{vmax}}{2 \cdot 5} = \frac{1.2 \cdot 2 \cdot 1060}{2 \cdot 0.15} = 8480 \text{ N}$$

$$F_{s2} = F_{s2}^z + F_{s2}^x = 778,1 + 8480 = 9258,1 \text{ N}$$

$$d_s = \sqrt{\frac{4 \cdot F_{s2}}{\pi \cdot G_{dt}}} = \sqrt{\frac{4 \cdot 9258,1}{\pi \cdot 130 \cdot 10^9}} = 0,0095 \text{ m}$$

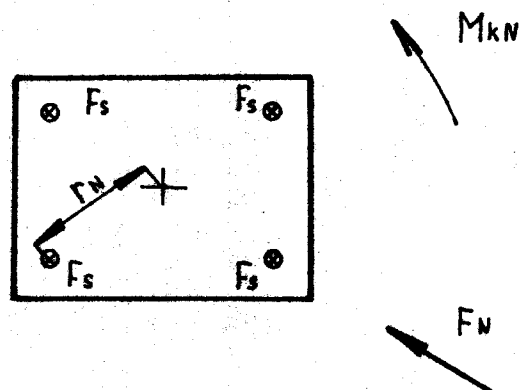
**Související šroub vytváří, protičeze zvolený šroubu je větší než d.**

### 3.7.8. Kontrola šroubu nosníku.

**Šrouby jsou montovány na tali. Je použit šroub M 12.**

Pro materiál šroubu 11 500 je  $G_{dt} = 130 \text{ MPa}$ .

**Šrouby přenáší kružnicí moment a sílu tření na si styčnou desku a nosník.**



obr. 24 Styčná deska nosníku

Kružnicí moment  $M_{kz}$  je moment od hmotnosti jednotlivých částí nosníku a od reakce páky v nosníku vatažené ke středu styčné desky.

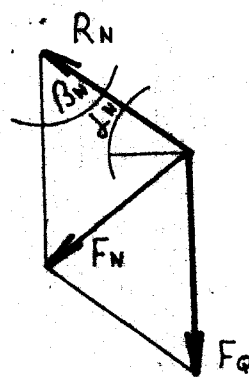
$$F_s^I = \frac{kd \cdot k_p \cdot M_{kz}}{4 \cdot r_n \cdot f} = \frac{1.2 \cdot 2 \cdot 123}{4 \cdot 0.087 \cdot 0.15} = 5655 \text{ N}$$

$$F_s^{II} = \frac{kd \cdot k_p \cdot F_N}{4 \cdot f} = \frac{1.2 \cdot 2 \cdot 1718.9}{4 \cdot 0.15} = 6875.6 \text{ N}$$

$$F_s = F_s^I + F_s^{II} = 5655 + 6875.6 = 12530.6 \text{ N}$$

$$d_N = \sqrt{\frac{4 \cdot F_s}{\pi \cdot G_{0t}}} = \sqrt{\frac{4 \cdot 12530.6}{\pi \cdot 130 \cdot 10^9}} = 0.011 \text{ m}$$

Savršený brod vyhovuje, protokol uvolněny s šroubu je větší než vypočítaný s  $d_N$ .



obr. 25 Silový obrazec

$$\beta_N = \frac{2\pi - 2(\alpha_N + \pi/2)}{2} = \frac{2\pi - 2(19.95 + \pi/2)}{2} = 70^\circ$$

$$F_N = \sqrt{R_N^2 + F_Q^2 - 2 \cdot R_N \cdot F_Q \cdot \cos \beta_N} = \sqrt{1770.4^2 + 173.5^2 - 2 \cdot 1770.4 \cdot 173.5 \cdot \cos 70^\circ} = 1719 \text{ N}$$

Síla  $F_Q$  je síla od hmotnosti jednotlivých částí nosníku.

### 3.7.9. Raster a popis ovládání otevíracího mechanismu klapaček.

Pneumatický obvod ovládání otevíracího mechanismu je navržen tak, aby se klapačka otevřala jen při otevřených ramenech lisovacího mechanismu a zařazeném otočném stolu ve správné poloze. Místo nějž je možné dojít k zavření klapačky, jsou-li v prostoru mezi tvárnicemi ramena lapače kapky.

Tím se zabrání případné destrukci jednotlivých mechanismů karuselového lalu. Pracovní obvod pneumatického motoru (M) je připojen k rozvodu tl.vodných s tlakem 0,6 MPa.

Ovládání rozvaděčů (M1, M2) a ventila (V31, V32) je pneumatické a dále ventilů (V1 - V7) mechanické.

Rychlosť pneumatického motoru je regulována pomocí škrticích ventili (V31 - V34) a zpětných ventili (V31 - V34).

Pneumatický motor má zabudované tlumec koncových poloh. K zabránění nadměrnému silovému zatížení jednotlivých mechanismů v I. stanici karuselového lalu je použito obvodu s blokovacími ventily (V31, - V32) a s redukčním ventilem (VR), který zredukuje tlak na 0,2 MPa.

Činnost karuselového lalu je řízena programovým ústrojím, jehož pohyb je synchronizován s pohybem děvkovače.

#### Popis činnosti.

Akčním členem pneumatického obvodu je atypický čtyřpolohový pneumatický válec. Pistaice jedné části (M I) je zakotvena na rámu stroje. Pistaice druhé části (M II) je pevně připevněna k ovládací páce. Po otevření ventilu (V 6) v programovém ústrojí pomocí vačky se tlakový vodach dostává do levé strany řídicího prvku (L 1) - signál  $y_1 = 1$ .

Je-li pod tlakem i pravé strana - signál  $x_1$  - , t.j. je-li stůl  
manuálně otevřen, dostane se přes ruční ventil (VV) do pravé strany  
řídícího prvku (L 3) - signál  $x_3$  - . Na opačné straně - signál  
 $y_3$  - je přiváděn tlakový vzduch přes ventil (V 1).

Otevření ventila zajišťují otevření ramena lisovacího mechanismu.  
Z řídícího prvku (L 3) se tlakový vzduch dostává - signály  $i_1, i_2$  -  
k čtyřcestnému dvojpolohovému posuvnátkovému rozvaděči (R 1, R 2).  
Oba rozvaděče jsou přestaveny do polohy "2" a tlakový vzduch o  
hodnotě 0,6 MPa se dostává do obou částí pneumatického motora.  
Pomocí části (M I) je těleso válce vytlačováno od středu stolu  
a pomocí pistu části (M II) je zároveň vytlačována stejná smě-  
rem i pistnice druhé části.

Tím dojde k otevření klapačky.

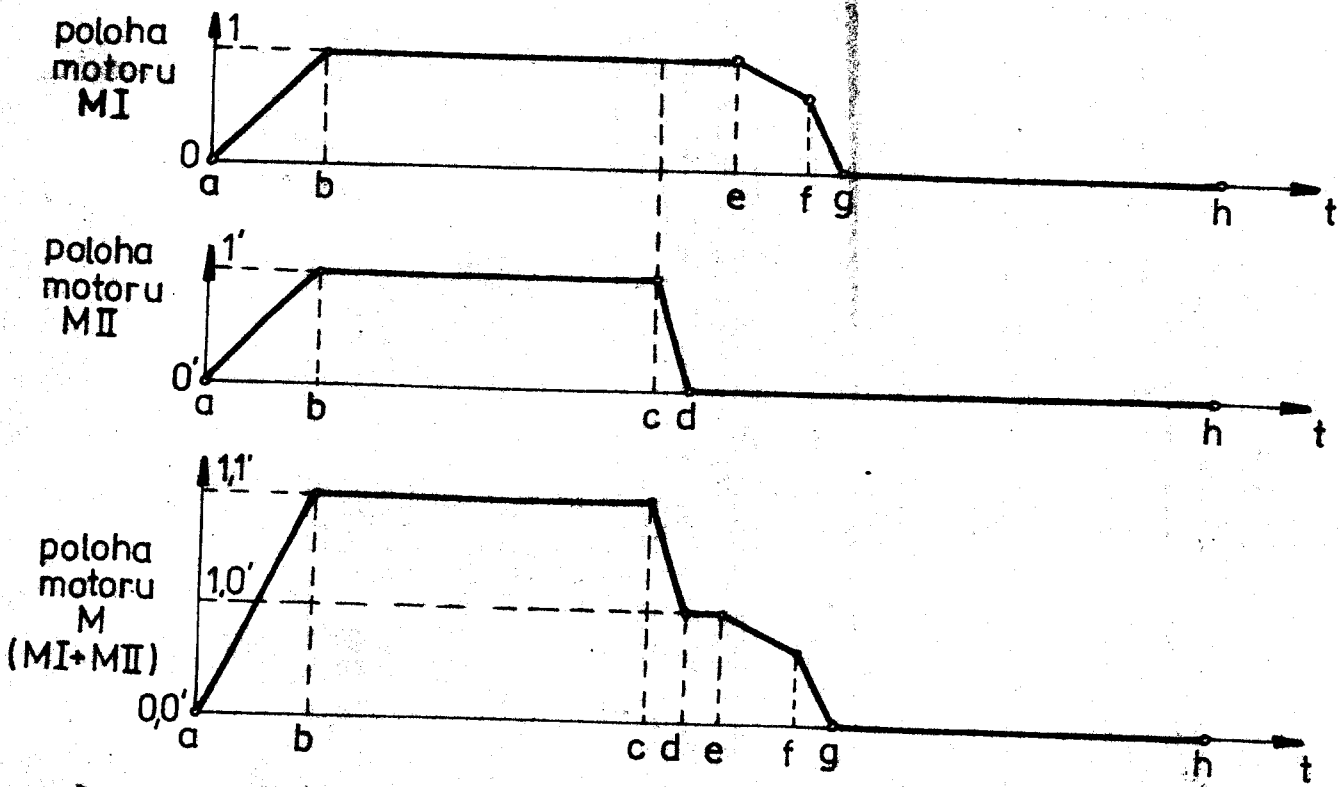
Pro zavření klapačky musí být klapka ote-  
vřena a vačka v řídícím sloupu musí zastavit ventil (V 7).

Řídící tlak prochází přes ventily (V 3, V 4, V 7) k prvku (L 2).  
Je-li na (L 2) signál  $x_2, y_2$ , pak řídící tlak přestaví rozvaděč  
(R 2) a blokovací ventily (VB1, VB2) do polohy "1". Tlakový vzduch  
přestaví pist (M II) do polohy "0" a současně se uleví přived  
pracovního tlaku o hodnotě 0,6 MPa (VB1) a stave se pomocí venti-  
lu (VB2) větev s redukovaným tlakem na 0,2 MPa, kterou proudí  
redukovaný tlak do (M I).

Při tvarování výrobku překonává lis tlak ve válci (M II), je-  
hož pohyb se koná ve směru 1-0.

Před vlastním lisováním přestaví rameno lisovacího mechanismu  
ventil (V2), kterým proudí řídící tlak - signál  $z_1$  - k (R 1).  
Signál  $z_1$  přestaví pneumatický rozvaděč (R 1) do polohy "1" a  
vzdušina o tlaku 0,6 MPa proudí do válce (M I). Tím vzniká pro-  
titlak, který přestaví válci (M I) do polohy 0.

Nyní je zrušen styk klapačka - páka a otevřený stůl karuselového lisu je připraven k otevření do další pracovní polohy.



a-b ... otvíráni klapačky

b-c ... klapačka v otevřené poloze

c-d ... zavíráni klap. do mazipolehy

d-e ... klapačka v mazipoleze

e-f ... lisování

f-g ... odjíždění páky

do počáteční  
polohy

g-h ... páka v počáteč-  
ní poloze

obr. 26 Pracovní diagram pneumatického  
čtyřpolohového válce

#### Spotřeba energie.

Pneumatický čtyřpolohový válec nového otvíracího mechanismu má spotřebu  $314,2 \text{ cm}^3$  tlakového vzduchu na jeden pracovní cyklus. Spotřeba současného otvíracího a stuhovacího mechanismu činí  $966 \text{ cm}^3$  tlakového vzduchu.

Použitím nového rekonstruovaného otvíracího mechanismu tak výhoda je  $67,5\%$  úspora energie.

#### 4. Návrh.

Zavedení strojní linky na výrobu lustrových ovček přinášlo zvýšení produktivity práce, snížení smetkovitosti, zvýšení jakosti výrobku, přičemž byla odstraněna těžká fyzická práce sklářských dělníků.

Jedním ze stěžejších úkolů při řešení konstrukce karuselového lisu KL - I byl návrh lisovací stanice.

Původní řešení a rekonstrukce, která byla provedena v průběhu skúšebního provozu za použití stavěcího mechanismu, ne splňovalo požadavky kladené na technologii výroby a konstrukční uspořádání, což vedlo k smetkovitosti výroby.

Dané problémy jsou řešeny v této diplomní práci.

V úvodní části je proveden rozbor a popis současného stavu a jsou zde zachyceny nedostatky a jednotlivé problémy.

V další části práce je proveden návrh jednotlivých variant a nejvhodnější způsob řešení zpracován početně a konstrukčně ve formě sestavného výkresu s přílohou pneumatického obvodu ovládání otvíracího mechanismu klapačky v první stanicí s návazností na ostatní činnosti a mechanismy karuselového lisu.

Pneumatický obvod je navržen tak, aby při nedodržení sledu jednotlivých operací výrobní technologie nedošlo k destrukci jednotlivých mechanismů karuselového lisu.

Hlavním přínosem vyřešení tohoto problému je snížení smetkovitosti a bezuchovnosti celé výrobní linky, snížení spotřeby tlakového vzduchu o 67,5% vzhledem ke spotřebě tlakového vzduchu současného otvíracího a stavěcího mechanismu, realisovatelnost seřízení polohy klapačky i za chodu stroje a tím zdokonalení karuselového lisu, který jinak jako celek má špičkové parametry.

**Výroba lustrových ovček na karuselovém lalu získáme výrobky o stejných rozměrech a tvaroch v níží toleranci, než při ruční výrobě.**

**Tím je umožněna realisace vývoje nového zařízení na bruslení a leštění lustrových ovček a další radikální zvýšení produktivity práce a zároveň snížení počtu potřebných pracovních sil při dokončovacích operacích lustrových ovček.**

## 5. Poděkování

Na tomto místě bych chtěl poděkovat vedoucímu diplomové práce s. Ing. Jaroslavu Beldovi, CSc., konzultantovi s. Ing. Antonínu Havelkovi z VŠST Liberec a konzultantovi s. Ing. Miroslavu Baucrovi z k.p. Jablonecké sklárny Desná, kteří mi svými radami a všechny připomínkami pomohli při vypracování diplomové práce.

## 6. Seznam použité literatury

- / 1 / ČERNÝ S. : Strojní technická příručka.  
I a II svazek  
SNTL Praha 1977.
- / 2 / BARTOŠ J. a kol. : Strojnické tabulky.  
SNTL Praha 1970.
- / 3 / PÍSEK A. : Části strojů.  
SNTL Praha 1972.
- / 4 / VRZAL B. a kol. : Strojnické tabulky.  
I a II svazek  
SNTL Praha 1972.
- / 5 / PEŠINA B. - REIP P. : Sbírka příkladů z pružnosti a  
VALENTA P. pevnosti.  
SNTL Praha 1964.
- / 6 / ZVLO - Mokrad : Letiská N - DK .
- / 7 / PESTO - Maschinenfabrik : Pneumatické prvky pro  
Ges.m.b.H. automatizaci.  
1171 Wien  
Haslingergrasse 11

Pořadí kusu	Název - rozměr	Početovar	Mater.konečný	Mater.výchozí	Třída odpadu	Č.hmota	Hr.hmota	Číslo vvkresu	Poz
1	2	2	4	5	6	7	8	9	10
4	ŠROUB M8x20	ČSN 02 1101							29
8	ŠROUB M6x20	ČSN 02 1101							30
2	ŠROUB M5x30	ČSN 02 1101							31
4	ŠROUB M5x15	ČSN 02 1101							32
2	ŠROUB M5x75	ČSN 02 1101							33
4	ŠROUB M4x60	ČSN 02 1101							34
4	ŠROUB M4x22	ČSN 02 1101							35
2	ŠROUB M4x8	ČSN 02 1101							36
6	ŠROUB M4x12	ČSN 02 1101							37
2	ŠROUB M4x10	ČSN 02 1101							38
2	ŠROUB M4x10	ČSN 02 1185							39
2	MATICE M20x1,5	ČSN 02 1401							40
4	MATICE M12x1,25	ČSN 02 1401							41
2	MATICE M10x1,25	ČSN 02 1401							42
4	MATICE M5	ČSN 02 1401							43
6	MATICE M4	ČSN 02 1401							44
2	MATICE KM5	ČSN 02 3630							45
2	KOLÍK 8x28	ČSN 02 2153							46
2	KOLÍK 6x32	ČSN 02 2153							47
4	PODLOŽKA 5,3	ČSN 02 1702							48
4	PODLOŽKA 12,2	ČSN 02 1714							49
3	PODLOŽKA 12,2	ČSN 02 1714							50
2	PODLOŽKA 10,2	ČSN 02 1714							51
4	PODLOŽKA 8,2	ČSN 02 1714							52
8	PODLOŽKA 6,1	ČSN 02 1714							53
4	PODLOŽKA 4,1	ČSN 02 1714							54
1	KRUŽEK 47	ČSN 02 2931							55
1	KRUŽEK 25	ČSN 02 2930							56

M. SOUREK

1:1

MECHANISMUS  
OTVÍRÁNÍ KLAPACEK DP 352/80-01-00  
V I. POSICI



Počet kusů	Název - rozměr	Potřeba	Mater. konečný	Mater. výchozí	Třída odpadu	Č. hmota	Hr. hmota	Číslo výkresu	Poz.
1	2	3	4	5	6	7	8	9	10
1	NOSNÍK	SVAŘENEC							1
1	STOJAN	SVAŘENEC							2
1	LOŽISKOVÉ TELESO	SVAŘENEC							3
1	OTVIRACÍ PÁKA KLAPACKY	SVAŘENEC							4
1	PÁKA VÁLCE	SVAŘENEC							5
1	STOJAN VÁLCE	SVAŘENEC							6
1	NOSNÍK ROZVADEČU	SVAŘENEC							7
1	KLUZNY SEGMENT	SVAŘENEC							8
1	NARÁžKA	SVAŘENEC							9
1	KRYT PLECHA 3	ČSN 42 53110 370.1			001				10
1	VIDLICE PÁKY 4HR 45-90	ČSN 42 552011 500.0			001				11
1	VIDLICE STOJANU 4HR 45-75	ČSN 42 552011 500.0			001				12
1	VODÍCÍ ČLEN 38x60-68	ČSN 42 552211 500.0			001				13
1	DESTICKA 28x8-48	ČSN 42 552312 020.4	12 020.1	002					14
1	SROUBOVÁ SPOJKA Ø 40-100	ČSN 42 551011 500.0			001				15
1	HRÍDEL Ø 30-180	ČSN 42 551011 500.0			001				16
2	ČEP Ø 14-54	ČSN 42 551011 600.4	11 600.0	001					17
1	MATICE 6HR 30-14	ČSN 42 653011 500.2			001				18
1	VÍKO TĚSNĚNÍ Ø 80-17	ČSN 42 551011 500.0			001				19
1	PŘÍRUBA TĚSNĚNÍ Ø 80-15	ČSN 42 551011 500.0			001				20
1	ROZPERKA TRUBKA Ø 38x7-18	ČSN 42 571511 416.1			001				21
1	ROZPERKA TRUBKA Ø 38x7-29	ČSN 42 571511 416.1			001				22
1	ROZPERKA TRUBKA Ø 38x7-15	ČSN 42 571511 416.1			001				23
1	PODLOŽKA TRUBKA Ø 38x7-4	ČSN 42 571511 416.1			001				24
1	PODSTAVEC 40x60-53	ČSN 42 552210 370.0			001				25
4	ŠROUB M12x35	ČSN 02 1101							26
3	ŠROUB M12x25	ČSN 02 1101							27
2	ŠROUB M10x35	ČSN 02 1101							28

CSN 02 7451 FESTO  
160PPV 1-346

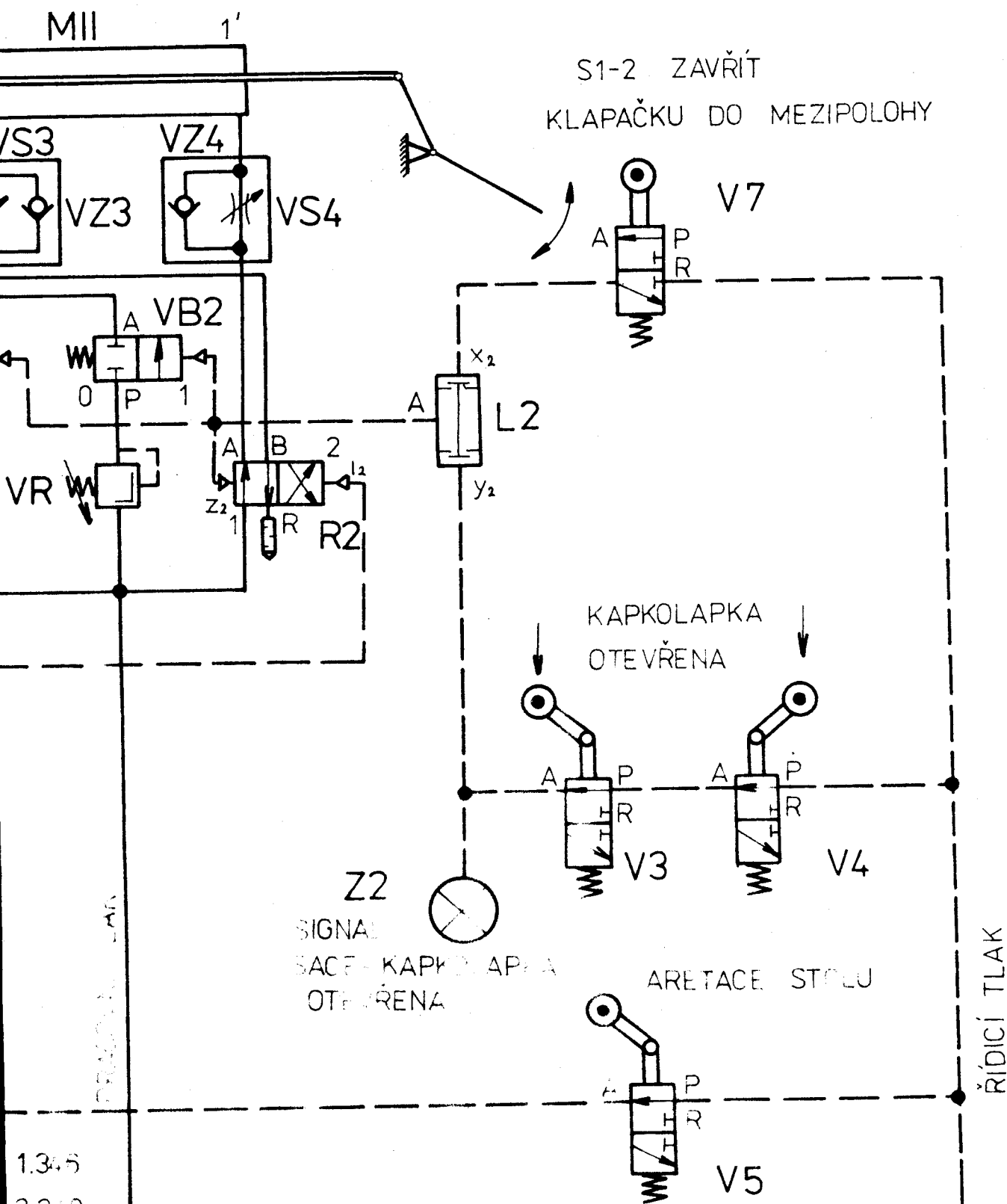
3V

1	BLOKOVACÍ VEN-		FESTO	67
	TIL VLO-2-1/8		2.310	
2	ROZVADEC		FESTO	68
	JP-4-1/8		2.340	
4	ŠKRTIČÍ VENTIL		FESTO	69
	GR-1/8		2.612	
3	TLUMIČ U-1/8		FESTO	70
4	SPOJKA		FESTO	71
	E-1/8-1/8		3.315	
1	HADICE		FESTO	72
	PP6-2000		3.305	
11	PRIPOJKA		FESTO	73
	CK-1/8-PK-6		3.307	
4	PRIPOJKA		FESTO	74
	CK-1/8-PK-4		3.307	
4	PRIPOJKA		FESTO	75
	LCK-1/8-PK-6A1		3.308	
1	PRIPOJKA		FESTO	76
	TCK-1/8-PK6A1		3.308	
2	PRIPOJKA		FESTO	77
	G-1/8-a/1		3.312	

M. SOURER

MECHANISMUS  
OTVÍRÁNÍ KLAPOČEK DP 352/80-01-00  
V T. POSICI

# NÍ KLAPAČKY V 1. POSICI č.v. - DP 352/80-02-00



Festo 2.612

8 Festo 2.310

M5 Festo 2.124

3-M5 Festo 2.124

612 Festo 2.803

Z2-signálka OH-22-ZELENÁ Festo 3.340

VV-vypínač N-3-M5 Festo 2.124

VR-redukční ventil LR-1/8 Festo 3.127

V6,V7-ventil v řídícím sloupu

# SCHEMA OVLÁDÁ

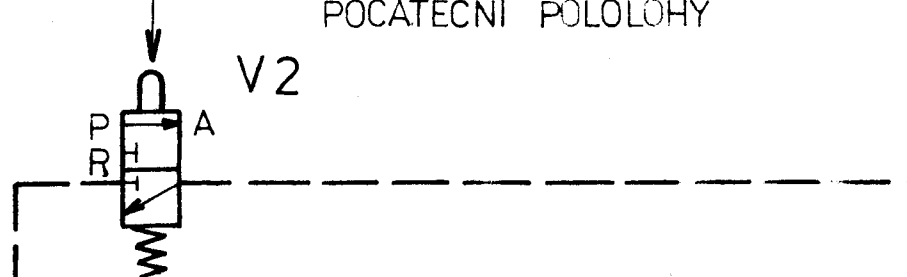
signál R1- $i_1$ , R2- $i_2$ ... otvívá klapačku

signál R2- $z_2$ ... zavírá klapačku do mezipolohy

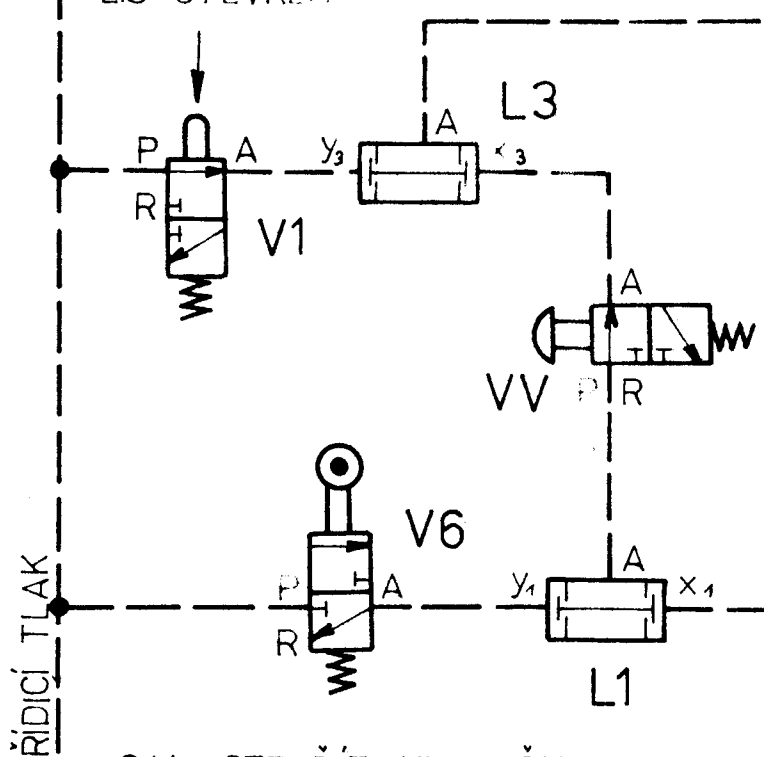
signál R1- $z_1$ ... otevře páku do počáteční polohy

Schema kresleno v základní poloze na začátku automat. cyklu. Očekává impuls k otevření klapačky.

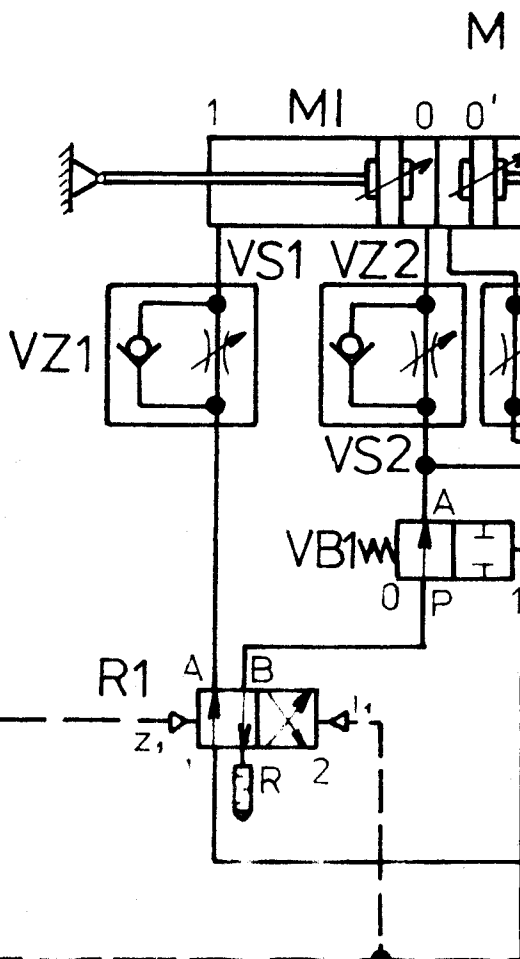
LIS ZAVŘÍT - OTVÍRACÍ PÁKA DO  
POČÁTEČNÍ POLOHY



LIS OTEVŘEN



S11 OTEVŘÍT KЛАПАЧКУ



M - válec DPC - 50-20/6 PPV Festo

R1, R2 - rozvaděč JP-4 1/8 Festo

(VS1-4 + VZ1-4) - škrtící ventil GR-1/8 F

VB1, VB2 - blokovací ventil VLO - 2-1

V1, V2 - koncový mikroventil V-3-1

V3, V4, V5 - koncový mikroventil L-

L1, L2, L3 - disjunkční blok 2 K-M5

Pořadí kusu	Název - rozměr	Položka	Mater. konečný	Mater. výchozí	Třída odpadu	Č. hmoty	Hr. hmoty	Cíllo výkresu	Poz.
1	2	3	4	5	6	7	8	9	10
4	KROUŽEK 10	ČSN 02 2930							57
1	POJISTNÁ PODLOŽKA MB5	ČSN 02 3640							58
2	KROUŽEK 5x6.5-130	ČSN 02 3655							59
4	TESNÍCÍ KROUŽEK 10x16	ČSN 02 9310 .3							60
2	PERO 8e7x7x36	ČSN 02 2562							61
2	LOŽISKO 16 005	ČSN 02 4630							62
2	POUZDRO PS-1020 DX					ZVLO-MOKRAD			63
1	HLAVICE M6	ČSN 02 7451							64
1	VALEC DPC-50-20/60PPV					FESTO 1.346			65
2	SPINAČ V3-M5					FESTO 2.124			66
1	BLOKOVACÍ VEN-TIL VLO-2-1/8					FESTO 2.310			67
2	ROZVADEC JP-4-1/8					FESTO 2.340			68
4	SKRTICÍ VENTIL GR-178					FESTO 2.612			69
3	TLUMIČ U-1/8					FESTO 3.210			70
4	SPOJKA E-1/8-1/8					FESTO 3.315			71
1	HADICE PP6-2000					FESTO 3.305			72
11	PŘIPOJKA CK-1/8-PK-6					FESTO 3.307			73
4	PŘIPOJKA CK-1/8-PK-4					FESTO 3.307			74
4	PŘIPOJKA LCK-1/8-PK-6A1					FESTO 3.308			75
1	PŘIPOJKA TCK-1/8-PK6A1					FESTO 3.308			76
2	PŘIPOJKA G-1/8-a/i					FESTO 3.312			77

Poznámka: FESTO = katalog "Pneumatické prvky pro automatizaci"

fa. FESTO - Maschinenfabrik Ges.m.b.H. 1171 Wien, Haslinger gasse 11.

Další příslušenství - pneumatické prvky: SPINAČ V3-M5 FESTO 2.124

BLOKOVACÍ VENTIL VLO-2-1/8 FESTO 2.310

REDUKCIONÍ VENTIL LR-1/8 FESTO 3.127

POVRCHOVÁ ÚPRAVA: - lze zkladní nátěr S-2000-ČSN 673 900

LOŽISKA, POZICE 62 63- mazat tukem TPH 2.

M. ŠOUREK

1:1

MECHANISMUS  
OTVÍRÁNÍ KLAPACEK DP 352/80-01-00  
V I. POSICI

Počet kusů	Název - rozměr	Položovat	Mater. konečný	Mater. výchozí	Třída odpadu	Č. hmoty	Hr. hmoty	Číslo uýkresu	Poz.
1	2	3	4	5	6	7	8	9	10
1	NOSNÍK	SVAŘENEC							1
1	STOJAN	SVAŘENEC							2
1	LOZISKOVÉ TELESO	SVAŘENEC							3
1	OTVÍRACÍ PAKA KLAPACKÝ	SVAŘENEC							4
1	PÁKA VÁLCE	SVAŘENEC							5
1	STOJAN VÁLCE	SVAŘENEC							6
1	NOSNÍK ROZVADĚČU	SVAŘENEC							7
1	KLUZNÝ SEGMENT	SVAŘENEC							8
1	NARÁŽKA	SVAŘENEC							9
1	KRYT PLECH	ČSN 42 530110 370.1			001				10
1	VIDLICE PÁKY 4HR 45-90	ČSN 42 552011 500.0			001				11
1	VIDLICE STOJANU 4HR 45-75	ČSN 42 552011 500.0			001				12
1	VODÍCÍ ČLEN 30x60-68	ČSN 42 552211 500.0			001				13
1	DESTICKA 28x8-48	ČSN 42 552312 020.4	12 020.1	002					14
1	ŠROUBOVÁ SPOJKA Ø 40-100	ČSN 42 551011 500.0			001				15
1	HŘÍDEL Ø 30-180	ČSN 42 551011 500.0			001				16
2	ČEP Ø 14-54	ČSN 42 551011 600.4	11 600.0	001					17
1	MATICE 6HR 30-14	ČSN 42 653011 500.2			001				18
1	VÍKO TĚSNĚNÍ Ø 80-17	ČSN 42 551011 500.0			001				19
1	PRÍRUBA TĚSNENÍ Ø 80-15	ČSN 42 551011 500.0			001				20
1	ROZPERKA TRUBKA Ø 38x7-18	ČSN 42 571511 416.1			001				21
1	ROZPERKA TRUBKA Ø 38x7-29	ČSN 42 571511 416.1			001				22
1	ROZPERKA TRUBKA Ø 38x7-15	ČSN 42 571511 416.1			001				23
1	PODLOZKA TRUBKA Ø 38x7-4	ČSN 42 571511 416.1			001				24
1	PODSTAVEC 40x60-53	ČSN 42 552210 370.0			001				25
4	ŠROUB M12x35	ČSN 02 1101							26
3	ŠROUB M12x25	ČSN 02 1101							27
2	ŠROUB M10x35	ČSN 02 1101							28

M. SOUREK

1:1

MECHANISMUS  
OTVÍRÁNÍ Klapáček DP 352/80-01-00  
V I. POSICI